

الجمهورية الجزائرية الديمقراطية الشعبية
République Algérienne Démocratique et Populaire

12/86

وزارة التعليم والبحث العلمي
Ministère de l'Enseignement et de la Recherche Scientifique

ECOLE NATIONALE POLYTECHNIQUE

lex

DEPARTEMENT : GENIE MECANIQUE

PROJET DE FIN D'ETUDES

SUJET

*Calcul de Resistance des
Matrices Precontraintes de
Filage à Froid à Conteneur
Hexagonal*

Proposé et dirigé par :

ELEOD Andras

Maître assistant à l'E.N.P.

Etudié par :

SATOR Toufik



PROMOTION JANVIER 1986

الجمهورية الجزائرية الديمقراطية الشعبية

République Algérienne Démocratique et Populaire

«O»

وزارة التعليم والبحث العلمي

Ministère de l'Enseignement et de la Recherche Scientifique

«O»

ECOLE NATIONALE POLYTECHNIQUE

«O»

DEPARTEMENT : GENIE MECANIQUE

PROJET DE FIN D'ETUDES

SUJET

*Calcul de Resistance des
Matrices Precontraintes de
Filage a Froid Conteneur
Hexagonal*

Proposé et dirigé par :

ELEOD Audras

Maître assistant à l'E.N.P.

Etudié par :

SATOR Toufik

PROMOTION JANVIER 1986

DEDICACES

Je dédie ce modeste travail à :
mon père et à ma mère qui m'ont tant apporté et que je ne
remercierai jamais assez
mes frères et à ma sœur
à toute ma famille
à tous mes amis

J. L.

REMERCIEMENTS

Je remercie toutes les personnes qui ont contribué à l'élaboration de cette étude.

En particulier, je remercie Monsieur ELEOD Andras dont l'aide m'a été très précieuse

Je remercie aussi toutes les personnes du corps enseignant qui ont participé à ma formation.

Je remercie Abdelkader pour les services qu'il m'a rendu

Merci à tous mes amis

A handwritten signature in black ink, consisting of a stylized, cursive script that is difficult to decipher but appears to be a personal name.

الموضوع : حساب مقاومة قالب ذي ثقب ممدس الشكل لقوية المعادن يعمل على البارد معرض لضغط خارجي .
الملخص : نستهدف في هذه الدراسة حساب الإجهادات المؤثرة على العانة الداخلية الممدسة الشكل لقالب يعمل على البارد معرض لضغط خارجي .
 يتم هنا بحل معادلات المرونة في حالة الوضع الإجهادي المستوي ، بطريقة موسخيليشفيلي حيث نستنتج الدالة الجهدية المركبة التي تعين الإجهادات .
 تدرس ثلاثة نماذج من التأثيرات : ضغط خارجي معدوم ، ضغط داخلي ثابت ، ضغط خارجي ثابت ، ضغط داخلي ثابت ، ثم متغير .
 الحساب يتم على ناظمة آلية مبرمجة بلغة البازيك .

Sujet : Calcul de résistance des matrices précontraintes du filage à froid à conteneur hexagonal.

Résumé : Dans cette étude , nous nous proposons de calculer les contraintes sur le contour intérieur hexagonal d'une matrice précontrainte de filage à froid. Le calcul se fait après résolution des équations de l'élasticité plane par la méthode de "MUSKHELISHVILI" dont on déduit la fonction potentiel complexe définissant les contraintes .

Trois modèles de sollicitations seront étudiés : Pression extérieure nulle , pression intérieure constante . Pression ext. constante , pression int. const. , puis variable .
 Le calcul se fait sur micro-ordinateur programmé en langage Basic .

Subject : Résistances calculation for extrusion of a prestressed matrix with an hexagonal hole .

Abstract : In this study , we prepond the calculation of the constraints in a hexagonal internal contour of a cold extrusion matrix subject to a prestress .

The calculation is made after résolution of the plane élasticity équations with the théory of "MUSKHELISHVILI" so we need résoudre a system of linéar équations to détermine the potentiel complex function which définie constraint .

Three paterns of sollicitations will be studied : zéro external pressure , internal pressure constant . External pressure constant , internal pressure constant and then variable .

The calculation is carried on by computer programmed in Basic .

TABLE DES MATIERES

1	Introduction
4	Chapitre I Rappel de quelques résultats fondamentaux.
4	I1 Equations de l'élasticité plane
10	Chapitre II Préliminaires à la méthode de Muskhélishvili
10	II1 Généralités
10	II2 Quelques définitions
12	II3 Somme des efforts sur un contour
13	II4 Coordonnée polaire et transformation.
14	II5 La méthode de Muskhélishvili
15	Chapitre III Etude de la fonction de transformation
19	Chapitre IV Application de la transformation - Détermination de la fonction potentiel
19	IV1 Détermination de l'équation d'équilibre aux bords
21	IV2 Résolution de l'équation d'équilibre
27	IV3 Détermination de la fonction de la contrainte extérieure
35	Chapitre V Calcul des contraintes et résultats
35	V1 Calcul des contraintes
36	V2 Résultats
42	V3 Interprétation des résultats
45	V4 Vérification de la méthode
46	Conclusion

- A1 Annexe I Détermination de la précontrainte
- A2 Annexe II Détermination de la variation de la pression pour le
troisième cas
- A5 Annexe III Programme
Bibliographie

INTRODUCTION

Le filage est un procédé de façonnage de la matière qui permet la fabrication des moyennes et grandes séries de pièces, à des coûts relativement bas, avec un gain de temps, une diminution du nombre des opérateurs par rapport aux procédés classiques (Fraisage, tournage, ...).

Du point de vue mécanique, les pièces obtenues sont plus homogènes, plus résistantes du fait de la régularité du filage, présentent un bon état de surface, ce qui évite les finitions onéreuses, et ont des propriétés mécaniques plus favorables (Ecrouissage des surfaces, dureté superficielle).

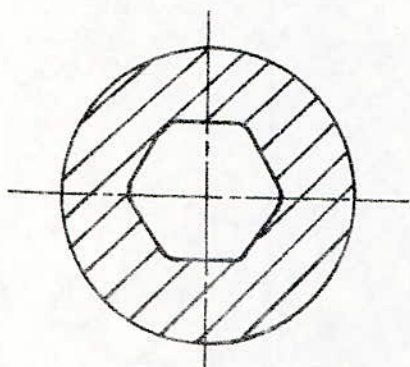
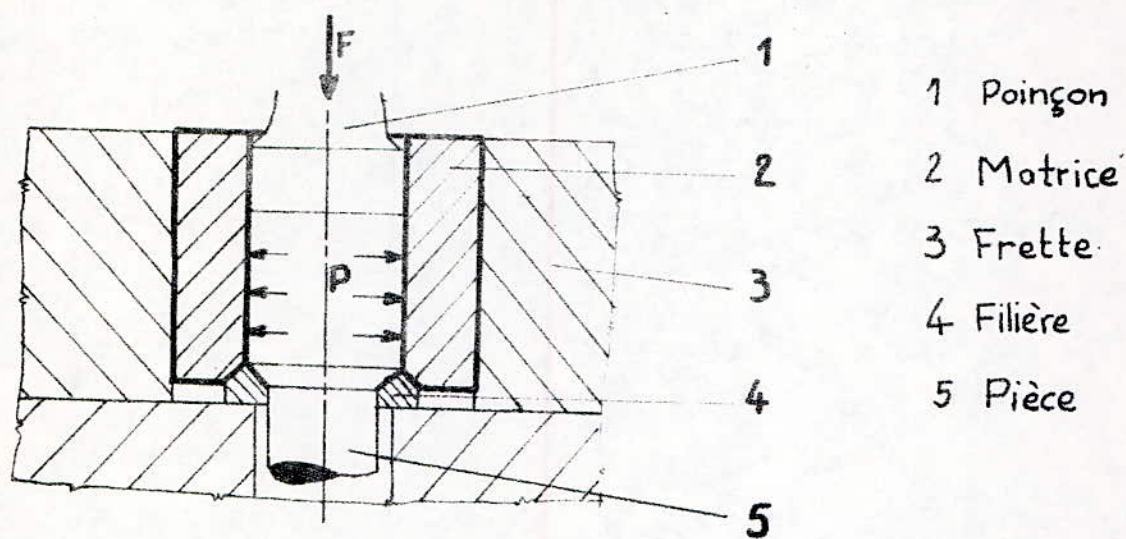
Le filage est un procédé dit de déformation volumétrique, et ayant comme principes de base la déformation plastique de la matière, avec conservation du volume initial.

La description du procédé se résume ainsi :

Une barre cylindrique est introduite dans une pièce ayant une forme géométrique déterminée - En l'occurrence un cylindre percé d'un trou hexagonal - appelée matrice. Elle est alors soumise à une pression générée par la descente

d'un poinçon au dessus de la barre. Au fond de la matrice se trouve une autre forme géométrique appelée filière.

Sous l'action de la pression, la matière s'écoule à travers la filière où il se produit une réduction de section, et s'élargit au niveau de la matrice jusqu'à en épouser la forme



Une telle étude se justifie par la nécessité de déterminer les formes et matériaux constituant la machine à filer (Frette, filière, matrice, ...), et pour étudier la forme et la dimension des contraintes en vue de les minimiser, surtout au niveau des angles où il existe une concentration des contraintes.

Pour cela, il faudra remplacer les angles par des arrondis.

La pression étant identiquement en hauteur — vu les symétries de forme et de sollicitation —, il en sera de même pour les contraintes. Nous sommes donc en présence d'un état de contraintes plan.

Il faudra déterminer les contraintes aux endroits où elles sont maximales, c'est à dire sur le contour intérieur de la matrice.

Nous utiliserons pour cela les équations de l'élasticité plane, ainsi que la méthode de Muskhelishvili *

La détermination de la précontrainte sera déduite d'une règle empirique (assemblage forcé).

Trois cas de figures seront étudiés :

Premièrement : La pression intérieure sera prise constante tandis que la pression extérieure sera nulle.

Deuxièmement : Les pressions intérieures et extérieures seront prises constantes et non nulles.

Troisièmement : La pression intérieure sera variable et la pression extérieure sera constante.

La variation de la pression intérieure sur le contour intérieur sera déduite empiriquement en tenant compte des conditions physiques définissant la pression.

* N.I. Muskhelishvili : Physicien - Mathématicien russe. Un de ses grands ouvrages est : "Some basic problems of the mathematical theory of elasticity; Fundamental equations, Plane theory of elasticity, torsion and bending."

CHAPITRE I

RAPPEL DE QUELQUES RESULTATS FONDAMENTAUX

I 1 EQUATIONS DE L'ELASTICITE PLANE

La théorie de l'élasticité plane est à la base de notre étude, et de ce fait, les équations de l'élasticité plane requièrent une grande importance pour la suite de notre travail.

I 1a Equations fondamentales

Il existe deux conditions fondamentales dans l'étude de l'élasticité de tout corps. En effet, le volume de la pièce étudiée reste toujours le même. D'autre part, il existe un équilibre des contraintes au sein même de la matière (compatibilité)

Ces deux conditions s'écrivent:

1 - Equilibre en volume

$$\frac{\partial \sigma_{ij}}{\partial j} + X_i = 0 \quad (i,j) = (x,y) \quad (1)$$

σ_{ij} désigne les contraintes

X_i désigne les composantes des forces de volume.

Dans un état de contraintes plan - Ce qui est notre cas -
cette équation s'écrit :

$$\frac{\partial \sigma_x}{\partial x} + \frac{\partial \tau_{xy}}{\partial y} + X = 0 \quad (a)$$

$$\frac{\partial \tau_{xy}}{\partial x} + \frac{\partial \sigma_y}{\partial y} + Y = 0 \quad (b)$$

2 - Equation de compatibilité

$$\nabla^2(\sigma_x + \sigma_y) = \left(\frac{\partial^2}{\partial x^2} + \frac{\partial^2}{\partial y^2} \right) (\sigma_x + \sigma_y) = - \frac{\lambda + 2G}{2(\lambda + G)} \left(\frac{\partial X}{\partial x} + \frac{\partial Y}{\partial y} \right) \quad (3)$$

I1b Fonctions d'Airy

Au cours du filage, les déplacements de matière étant assez lent, les accélérations de la masse sont pratiquement nulles, et comme les quantités X et Y sont égales respectivement à $m \cdot a_x$ et $m \cdot a_y$ (a_x et a_y sont les composantes de l'accélération et m la masse), nous pouvons donc simplifier les équations ci dessus ($X \equiv 0$ et $Y \equiv 0$)

$$\frac{\partial \sigma_x}{\partial x} + \frac{\partial \tau_{xy}}{\partial y} = 0 \quad (a)$$

$$\frac{\partial \tau_{xy}}{\partial x} + \frac{\partial \sigma_y}{\partial y} = 0 \quad (b)$$

$$\nabla^2(\sigma_x + \sigma_y) = \left(\frac{\partial^2}{\partial x^2} + \frac{\partial^2}{\partial y^2} \right) (\sigma_x + \sigma_y) = 0 \quad (3')$$

Cela nous permet d'écrire un résultat intéressant des mathématiques qui est :

Les équations ci dessus (2'a) et (2'b) représentent resp. éctivement la condition nécessaire et suffisante d'existence de deux fonctions $A(x, y)$ et $B(x, y)$ telles que :

$$\frac{\partial A}{\partial x} = \sigma_y \quad ; \quad \frac{\partial A}{\partial y} = -\tau_{xy}$$

$$\frac{\partial B}{\partial x} = -\tau_{xy} \quad ; \quad \frac{\partial B}{\partial y} = \sigma_x$$

$$\text{Nous écrivons alors} \quad \frac{\partial A}{\partial y} = \frac{\partial B}{\partial x} \quad (4)$$

La condition ci dessus (4) introduit alors une autre fonction $U(x, y)$ telle que

$$A = \frac{\partial U}{\partial x} \quad B = \frac{\partial U}{\partial y} \quad (5)$$

U est appelée fonction potentiel ou fonction d'Airy

Cela nous amène à écrire, d'après (4) et (5) :

$$\sigma_x = \frac{\partial^2 U}{\partial y^2} \quad (a) \quad ; \quad \sigma_y = \frac{\partial^2 U}{\partial x^2} \quad (b)$$

$$\tau_{xy} = -\frac{\partial^2 U}{\partial x \partial y} \quad (c) \quad (6)$$

En additionnant (6a) et (6b) et en injectant ceci dans (3'), nous obtenons :

$$\nabla^2(\sigma_x + \sigma_y) = \nabla^4 U = 0 \quad (7)$$

($\nabla^4 U = 0$ implique que U est une fonction biharmonique. (Cf aux définitions des fonctions harmoniques et biharmoniques).

La connaissance d'une fonction U qui vérifie les conditions ci-dessus nous permettra de résoudre rapidement les problèmes de l'élasticité plane.

I1c Utilisation des fonctions analytiques des variables complexes

L'utilisation des variables complexes nous permet de mieux résoudre notre problème car cela permet de doubler le nombre d'équations

Le laplacien de l'équation (3) s'écrit dans le plan complexe

$$\nabla^2 = \frac{\partial^2}{\partial x^2} + \frac{\partial^2}{\partial y^2} = 4 \frac{\partial^2}{\partial z \partial \bar{z}} \quad (8)$$

Les équations (2'a) et (2'b) s'écriront :

$$\frac{\partial}{\partial z}(\sigma_x + \sigma_y) - \frac{\partial}{\partial \bar{z}}(\sigma_y - \sigma_x + 2i \tau_{xy}) = 0 \quad (a)$$

9

$$\frac{\partial^2}{\partial z \partial \bar{z}}(\sigma_x + \sigma_y) = 0 \quad (b)$$

Nous aboutissons à un système de deux équations aux dérivées partielles complexes. Sa résolution permet de tirer directement les contraintes σ_x , σ_y et τ_{xy} dans

n'importe quel point de la matière (Dans notre cas la matrice).

I1d Intégration des équations (9a) et (9b)

Posons :

$$\sigma_x + \sigma_y = \nabla^2 U = \theta$$

$$\sigma_y - \sigma_x + 2i \tau_{xy} = \chi$$

Les équations 9 s'écriront alors :

$$\frac{\partial \theta}{\partial z} - \frac{\partial \chi}{\partial \bar{z}} = 0 \quad (a)$$

$$\frac{\partial^2 \theta}{\partial z \partial \bar{z}} = 0 \quad (b) \quad 10$$

Les fonctions θ et χ sont toutes deux analytiques.

L'intégration des équations (10a) et (10b) donne

$$\theta = \sigma_x + \sigma_y = 4 \operatorname{Re} [\Psi'(z)] \quad (a) \quad (11)$$

$$\chi = \sigma_y - \sigma_x + 2i \tau_{xy} = 2(z \cdot \Psi''(z) + \Psi'(z)) \quad (b)$$

(Voir démonstration P.11 [7])

$\varphi(z)$ et $\psi(z)$ sont deux fonctions analytiques. La résolution des équations (11) revient aussi à résoudre (9). Donc la résolution revient à trouver deux fonctions analytiques φ et ψ qui permettront de trouver directement les contraintes en les tirant des équations (9).

Les fonctions φ et ψ sont appelées fonctions potentiels complexes.

De (10), nous tirons

$$\sigma_x = \frac{1}{2} \operatorname{Re} (\theta - \chi) \quad (a)$$

$$\sigma_y = \frac{1}{2} \operatorname{Re} (\theta + \chi) \quad (b) \quad (12)$$

$$\tau_{xy} = \frac{1}{2} \operatorname{Im} (\chi) \quad (c)$$

En remplaçant θ et χ par leur expression en (11), nous obtenons les équations donnant directement les contraintes σ_x , σ_y et τ_{xy} en fonction des fonctions potentiels complexes

CHAPITRE II

PRELIMINAIRES A LA METHODE DE MUSKHELISHVILI

II 1 GENERALITES

Notre matrice étant limitée par deux contours dont l'un est à l'intérieur de l'autre, nous avons affaire à un domaine doublement connexe.

La connexité est la limitation du domaine d'étude par un certain nombre de frontières fermées et différentes.

L'ordre de connexité est le nombre de ces frontières.

II 2 QUELQUES DEFINITIONS

II 2 a Les transformations conformes

Nous abordons ici une partie très importante de cette étude. En effet, elle permet de simplifier énormément toute la compréhension du sujet.

Les transformations conformes sont très usitées en mathématiques et en physique où elles permettent la transformation de domaines très compliqués en domaines plus simples par l'intermédiaire de l'utilisation d'une fonction mathématique.

Ainsi donc, Soit D le domaine étudié (mais dont l'étude est difficile) et soit D' le domaine transformé (dont l'étude est plus abordable). La transformation conforme permet de décrire complètement le domaine D et de le transformer en domaine D' par la fonction f telle que $w = f(z)$.

Dans ce cas, w décrit entièrement D' lorsque z décrit entièrement D .

II 2 b Théorèmes

Il existe une seule représentation conforme $w = f(z)$ d'un domaine D sur un domaine D' qui fait correspondre à trois points frontières z_k du domaine D , trois points frontières w_k du domaine D' . Les points z_k et w_k sont donnés arbitrairement, mais en conservant l'ordre de succession lorsqu'on décrit les deux frontières *

Tout domaine doublement connexe peut être transformé en une couronne de rayons r_1 et r_2 avec $r_1 \ll |w| \ll r_2$. La connaissance de l'un des deux implique la définition d'une manière unique de l'autre par le domaine étudié. (**)

*[4] p. 161

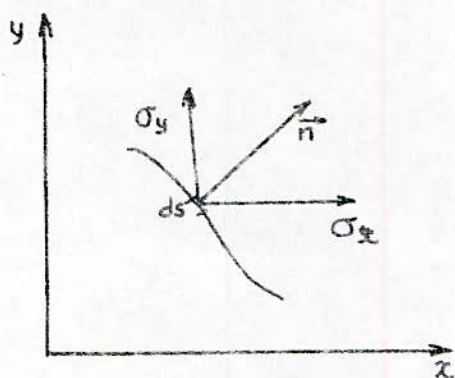
** [6] P. 15

Lors de la transformation d'un polygone régulier en cercle, aux sommets du polygone correspondent des points divisant la circonférence du cercle en parties égales (*)

II 2c Lien entre les transformations conforme et notre étude

Les transformations conformes nous permettront de travailler sur un domaine D' (anneau) et d'y déterminer les contraintes. Le domaine D' est plus facilement abordable que le domaine D .

II 3 SOMME DES EFFORTS SUR UN CONTOUR



Soit un domaine D sur lequel est définie une coordonnée curviligne S . Le domaine est soumis à une force répartie

sur tout le contour. La somme des efforts sur S sera égale à :

$$X_1 + i Y_1 = \int_S (X_n + i Y_n) dS$$

$$l = \frac{dy}{ds}$$

$$; m = -\frac{dx}{ds}$$

* [5] p.165

$$X_n = U_x \cdot l + U_{xy} \cdot m$$

$$Y_n = \tau_{xy} \cdot l + \sigma_y \cdot m$$

En remplaçant x et y par z et \bar{z} et σ_x, σ_y et τ_{xy} par leur expression en (12 a), (12 b) et (12 c). En remplaçant θ et χ par les formules (11 a) et (11 b), nous en déduisons :

$$\varphi(z) + z \bar{\varphi}'(z) + \bar{\psi}(z) = i \int_S (X_n + i Y_n) dS \quad (13)_{(*)}$$

$$\text{Posons } f(z) = i \int_S (X_n + i Y_n) dS$$

Cette équation est calculable pour un domaine simplement connexe.

Pour un domaine doublement connexe, il faut se servir des transformations conformes et poser que D est l'image d'un domaine D' par $z = \omega(\zeta)$. S sera alors l'image d'un contour S' de D' , que l'on choisira circulaire puisque les conditions aux limites pour un cercle sont connues

ζ sera alors donnée en coordonnées polaire :

$$\zeta = \rho \cdot e^{i\theta}$$

II 4 COORDONNEE POLAIRE ET TRANSFORMATION

Dans ce système de coordonnées, nous avons comme base le couple (ρ, θ) . Un vecteur de coordonnées (A_x, A_y) dans le repère cartésien s'écrit (A_ρ, A_θ) dans le système

(*) [7] p. 17

polaire et nous avons :

$$A_p + i A_\theta = e^{i\alpha} |A_x + i A_y| \text{ avec } e^{i\alpha} = \frac{dz}{|dz|}$$

Si de plus, nous posons $z = \omega(\xi)$, alors (11 a) et (11 b) s'écriront :

$$\sigma_p + \sigma_\theta = 4 \operatorname{Re} \left[\psi'(\xi) / \omega'(\xi) \right] \quad (a) \quad (14)$$

$$\sigma_\theta - \sigma_p + 2i \tau_{p\theta} = 2 \frac{\xi^2}{\beta^2 \bar{\omega}'(\xi)} \left[\bar{\omega}'(\xi) \frac{\psi(\xi)}{\omega'(\xi)} + \psi'(\xi) \right] \quad (b)$$

En remplaçant ces valeurs dans l'expression de (13), nous obtenons :

$$\psi(\xi) + \omega(\xi) \frac{\psi'(\xi)}{\omega'(\xi)} + \bar{\Psi}(\xi) = i \int_S (\chi_n + i \gamma_n) dS = f \quad (15a)$$

En conjuguant cette équation, nous obtenons :

$$\bar{\varphi}(\xi) + \bar{\omega}(\xi) \frac{\bar{\psi}'(\xi)}{\omega'(\xi)} + \psi(\xi) = \bar{f} \quad (15b)$$

II 5 LA METHODE DE MUSKHELISHVILI

Enoncé de la méthode

Muskhelishvili considère que les fonctions φ et ψ décrites ci-dessus et qui doivent résoudre les équations (15a) et (15b) sont composées de séries de Laurent. Il transcrit ainsi toutes les fonction de (15a) et (15b) en séries de Laurent. L'identification terme à terme de ces séries permettra de connaître les fonctions φ et ψ .

CHAPITRE III

ETUDE DE LA FONCTION DE TRANSFORMATION

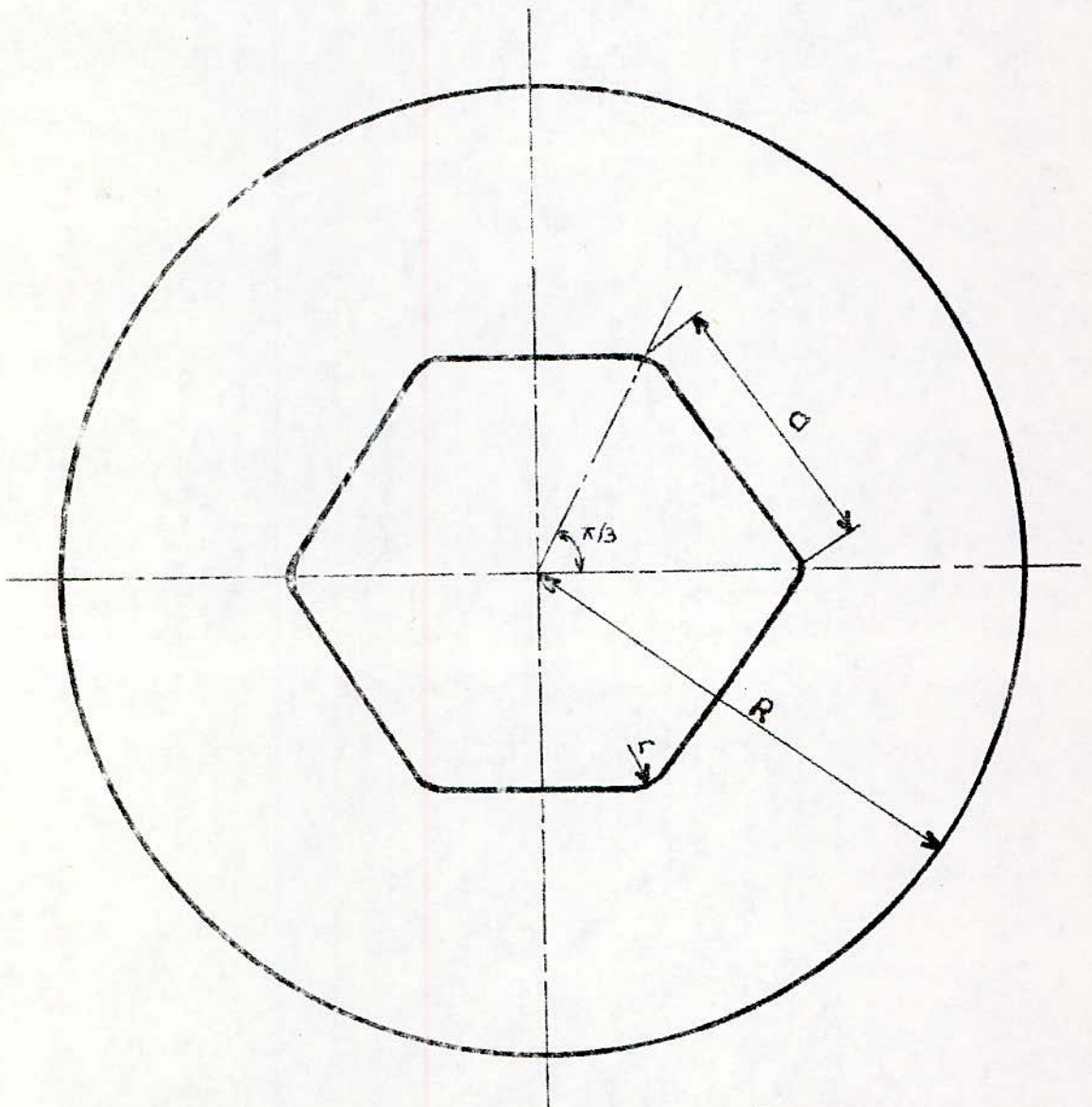


fig 1. forme et dimensions générales
de la matrice

Soit la matrice de la figure 1.

Notre but est de transformer cette matrice en un anneau cylindrique. La méthode d'obtention de cette transformation est proposée par une étude qui traite de ces problèmes et qui se trouve dans un livre hongrois (*)

Elle est basée sur une étude analytique et numérique établie entre un anneau et un domaine doublement connexe quelconque. Le rayon extérieur de l'anneau est unitaire. Le rayon intérieur est donné par la transformation. Il est à noter que cette transformation tient compte du nombre des axes de symétrie (q). Cette fonction de transformation s'écrit sous forme de séries de Laurent (Plus exactement, elle s'écrit sous forme de somme de Laurent). Nous aurons donc :

$$z = w(\xi) = \sum_{l=-2m}^{2m-1} C_{qk+1} \xi^{qk+1} \quad (16)$$

q étant le nombre d'axes de symétries, nous aurons dans notre cas $q=3$

Pour le cercle intérieur $\rho = \rho_1$ donc $\xi = \rho_1 e^{i\theta}$

Pour le cercle extérieur $\rho = 1$ donc $\xi = e^{i\theta}$

D'autre part, l'anneau est divisé en m parties égales, en faisant varier θ en posant $\theta = \theta_j = \frac{\pi}{2qm} (2j-1)$ $j=1, \dots, m$

Les coefficients C_k sont donnés par les expressions ci-dessous :

(*) [6]

$$C_k = \frac{1}{m(1 - \rho_1^{2qm})} \sum_{j=1}^m \left\{ x_j \cos \left(\frac{\pi \cdot k \cdot (2j-1)}{2qm} \right) + y_j \sin \left(\frac{\pi \cdot k \cdot (2j-1)}{2qm} \right) - \rho_1^{2qm-k} \left[x_j \cos \left(\frac{\pi k (2j-1)}{2qm} \right) + y_j \sin \left(\frac{\pi k (2j-1)}{2qm} \right) \right] \right\}$$

$$k = 1, q+1, \dots, (2m-1)q + 1 \quad (17)$$

$$C_{-k} = \frac{1}{m(1 - \rho_1^{2qm})} \sum_{j=1}^m \left\{ \rho_1^k \left[x_j \cos \left(\frac{\pi k (2j-1)}{2qm} \right) - y_j \sin \left(\frac{\pi k (2j-1)}{2qm} \right) \right] - \rho_1^{2qm} \left[x_j \cos \left(\frac{\pi k (2j-1)}{2qm} \right) - y_j \sin \left(\frac{\pi k (2j-1)}{2qm} \right) \right] \right\}$$

$$k = q-1, \dots, 2mq-1 \quad (18)$$

Le rayon ρ_1 est donné par :

$$\rho_1 = \frac{\sum_{j=1}^m \left[x_j \cos \left(\frac{\pi (2j-1)}{2qm} \right) + y_j \sin \left(\frac{\pi (2j-1)}{2qm} \right) \right]}{\sum_{j=1}^m \left[x_j \cos \left(\frac{\pi (2j-1)}{2qm} \right) + y_j \sin \left(\frac{\pi (2j-1)}{2qm} \right) \right]} \quad (19)$$

x_j et y_j sont les coordonnées des points du trou
 x_j et y_j sont les coordonnées des points du cercle
 extérieurs.

Cette méthode étant numérique, on introduit C_k, C_{-k} et ρ_1 sur micro-ordinateur et on ne retient que les coefficients s qui ont une importance. On remarque que ce sont les coefficients C_1, C_7 et C_{-5} . Ainsi, la série (16) s'écrira

$$z = \omega \left(\frac{z}{\rho} \right) = C_1 \xi + C_7 \xi^7 + C_{-5} \xi^{-5} \quad (20)$$

Le programme permettant le calcul de C_1, C_7 et C_{-5} , ainsi que β_1 est donné en annexe.

Les vérifications donnent des résultats intéressants.

En conclusion, nous avons transformé le domaine D en un domaine D' (Voir figure 2)

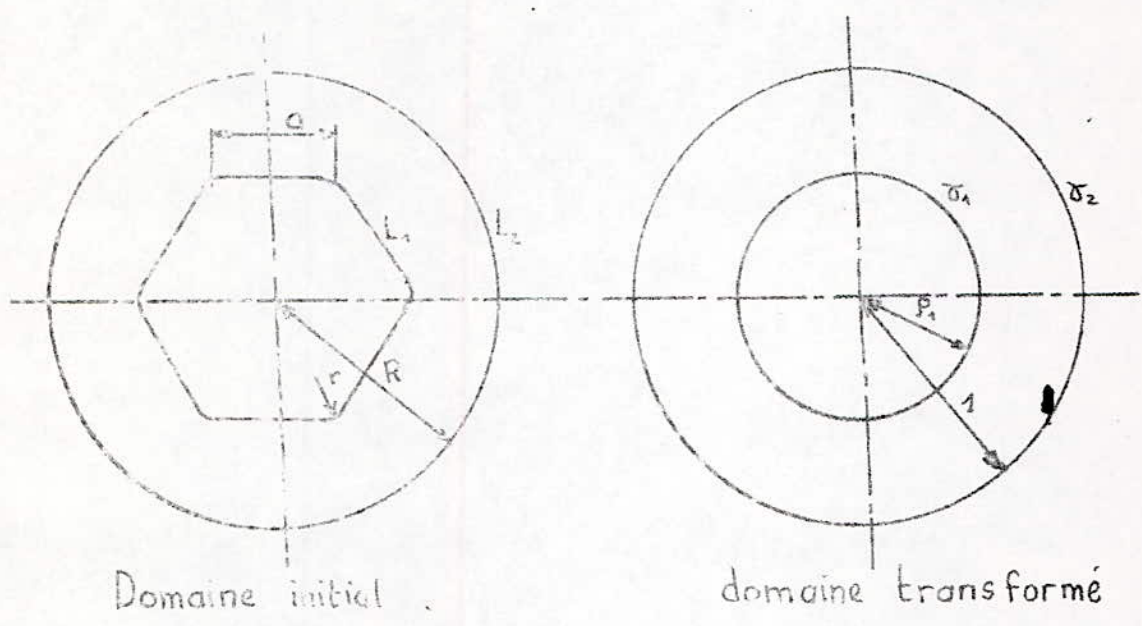


fig. 2 Transformation du domaine initial par w

CHAPITRE IV

APPLICATION DE LA TRANSFORMATION

DETERMINATION DE LA FONCTION POTENTIEL

IV 1 DETERMINATION DE L'EQUATION D'EQUILIBRE AUX BORNES

IV 1a Notations

Soit la fonction polynomiale f de la variable complexe ζ . Cette fonction s'écrit en ζ uniquement et ne possède pas de termes en $\bar{\zeta}$. On dit que f est holomorphe. La fonction \bar{f} conjuguée de f sera elle fonction uniquement de $\bar{\zeta}$; Donc:

$$f = f(\zeta) \quad \text{et} \quad \bar{f} = \bar{f}(\bar{\zeta}).$$

$$\text{Or } \bar{\zeta} = \rho e^{-i\theta} = \frac{\rho}{e^{i\theta}} = \frac{\rho^2}{\rho e^{i\theta}} = \frac{\rho^2}{\zeta} \quad \text{avec } \zeta = \rho e^{i\theta}$$

Nous conviendrons de noter les fonctions holomorphes conjuguées \bar{f} sous forme polynomiale de la variable $\frac{\rho^2}{\zeta}$ de la manière suivante :

$$\bar{f}\left(\frac{\rho}{\xi}\right) = \bar{f}\left(\frac{\rho^2}{\xi}\right)$$

Cette forme permet une meilleure lecture des expressions tout en mettant en évidence l'apparition de ρ . L'utilité de ceci apparaîtra plus tard.

IV 1 b Transformation des équations (15 a) et (15 b)

Les équations (15 a) et (15 b) étant conjuguées, cela revient au même de prendre l'une ou l'autre. Prenons donc l'équation (15 b) et appliquons la sur les contours intérieur et extérieur de l'anneau, puis multiplions la par $\omega'(\xi)$. En réarrangeant les termes de l'équation, cela donne :

$$\text{Sur } \sigma_2 : \rho = 1$$

$$\omega'(\xi) \Psi(\xi) = -\bar{f}\left(\frac{1}{\xi}\right) \cdot \omega'(\xi) - \bar{\omega}\left(\frac{1}{\xi}\right) \Psi'(\xi) + \bar{f}_2(\xi) \cdot \omega'(\xi)$$

$$\text{Sur } \sigma_1 : \rho = \rho_1$$

$$\omega'(\xi) \Psi(\xi) = -\bar{f}\left(\frac{\rho_1^2}{\xi}\right) \cdot \omega'(\xi) - \bar{\omega}\left(\frac{\rho_1^2}{\xi}\right) \cdot \Psi'(\xi) + \bar{f}_1(\xi) \cdot \omega'(\xi)$$

Les fonctions f_2 et f_1 ne sont que les expressions de l'application des efforts respectivement sur le contour extérieur et intérieur.

En égalisant les deux expressions, et en multipliant le tout par ξ - Dans le but d'homogénéiser les puissances dans toute l'expression -, nous obtenons :

$$\xi \omega'(\xi) \left[\bar{\varphi}\left(\frac{1}{\xi}\right) - \bar{\varphi}\left(\frac{\rho_1^2}{\xi}\right) \right] + \xi \varphi'(\xi) \left[\bar{\omega}\left(\frac{1}{\xi}\right) - \bar{\omega}\left(\frac{\rho_1^2}{\xi}\right) \right] = \xi \omega'(\xi) \left[\bar{f}_2\left(\frac{1}{\xi}\right) - \bar{f}_1\left(\frac{\rho_1^2}{\xi}\right) \right] \quad (21b)$$

Si nous avons considéré l'expression (15a), cela nous aurait conduit à l'expression conjuguée de (21b) qui est :

$$\bar{\xi} \bar{\omega}'(\bar{\xi}) \left[\varphi\left(\frac{1}{\bar{\xi}}\right) - \varphi\left(\frac{\rho_1^2}{\bar{\xi}}\right) \right] + \bar{\xi} \bar{\varphi}'(\bar{\xi}) \left[\omega\left(\frac{1}{\bar{\xi}}\right) - \omega\left(\frac{\rho_1^2}{\bar{\xi}}\right) \right] = \bar{\xi} \bar{\omega}'(\bar{\xi}) \left[f_2\left(\frac{1}{\bar{\xi}}\right) - f_1\left(\frac{\rho_1^2}{\bar{\xi}}\right) \right] \quad (21a)$$

De même que pour (15a) et (15b), la considération de l'une des expressions cidessus revient à la considération de l'autre

IV 2 RESOLUTION DE L'EQUATION (21c)

Application de la méthode de Muskhélishvili
 Muskhélishvili conseille de prendre l'expression (15b), donc aussi l'expression (21b). En effet, toutes les expressions de (21b) sont écrites en fonction de ξ tandis que dans (21a) il n'y a que des fonctions de $\bar{\xi}$. Le travail avec les ξ est plus aisé qu'avec les $\bar{\xi}$, ce qui explique ce choix.

Soit à expliciter l'équation (21b).

Muskhelishvili conseille de transcrire toutes les fonctions de cette équation sous forme de series de Laurent.

Occuppons-nous d'abord des termes de gauche de cette équation :

Une série de Laurent s'écrit :

$$f(z) = \sum_{n=-\infty}^{+\infty} a_n z^n$$

$$\omega(\xi) = \sum_{\nu=-\infty}^{\infty} c_{\nu} \xi^{\nu}$$

$c_{\nu} \in \mathbb{R}$ voir Chapitre III

$$\bar{\omega}(\xi) = \sum_{\nu=-\infty}^{\infty} c_{\nu} (\bar{\xi})^{\nu} \text{ or } \bar{\xi} = \frac{\rho_1^2}{\xi} \text{ donc}$$

$$\bar{\omega}(\xi) = \sum_{\nu=-\infty}^{\infty} c_{\nu} \frac{\rho_1^{2\nu}}{\xi^{\nu}}$$

$$\omega'(\xi) = \sum_{\nu=-\infty}^{\infty} \nu c_{\nu} \xi^{\nu-1}$$

$$\varphi(\xi) = \sum_{k=-\infty}^{\infty} a_k \xi^k$$

$$\bar{\varphi}(\xi) = \sum_{k=-\infty}^{\infty} \bar{a}_k \bar{\xi}^k = \sum_{k=-\infty}^{\infty} \bar{a}_k \frac{\rho_1^{2k}}{\xi^k}$$

$$\bar{\varphi}(\xi) = \sum_{k=-\infty}^{\infty} \bar{a}_k \frac{\rho_1^{2k}}{\xi^k}$$

$$\varphi'(\xi) = \sum_{k=-\infty}^{\infty} k a_k \xi^{k-1}$$

Calculons $\bar{\varphi}\left(\frac{1}{\xi}\right) - \bar{\varphi}\left(\frac{\rho_1^2}{\xi}\right)$

$$\bar{\varphi}\left(\frac{1}{\xi}\right) - \bar{\varphi}\left(\frac{\rho_1^2}{\xi}\right) = \sum_{k=-\infty}^{\infty} \bar{a}_k \frac{1}{\xi^k} - \sum_{k=-\infty}^{\infty} \bar{a}_k \frac{\rho_1^{2k}}{\xi^k}$$

$$\bar{\varphi}\left(\frac{1}{\xi}\right) - \bar{\varphi}\left(\frac{\rho_1^2}{\xi}\right) = \sum_{k=-\infty}^{\infty} \bar{a}_k \frac{1}{\xi^k} (1 - \rho_1^{2k})$$

Calculons $\bar{\omega}\left(\frac{1}{\xi}\right) - \bar{\omega}\left(\frac{\rho_1^2}{\xi}\right)$

$$\bar{\omega}\left(\frac{1}{\xi}\right) - \bar{\omega}\left(\frac{\rho_1^2}{\xi}\right) = \sum_{\nu=-\infty}^{\infty} c_{\nu} \frac{1}{\xi^{\nu}} - \sum_{\nu=-\infty}^{\infty} c_{\nu} \frac{\rho_1^{2\nu}}{\xi^{\nu}}$$

$$\bar{\omega}\left(\frac{1}{\xi}\right) - \bar{\omega}\left(\frac{\rho_1^2}{\xi}\right) = \sum_{\nu=-\infty}^{\infty} c_{\nu} \frac{1}{\xi^{\nu}} (1 - \rho_1^{2\nu})$$

Calculons $A(\xi) = \xi \cdot \omega'(\xi) \cdot \left[\bar{\varphi}\left(\frac{1}{\xi}\right) - \bar{\varphi}\left(\frac{\rho_1^2}{\xi}\right) \right]$

$$A(\xi) = \xi \left[\sum_{\nu=-\infty}^{\infty} \nu c_{\nu} \xi^{\nu-1} \right] \left[\sum_{k=-\infty}^{\infty} \bar{a}_k \frac{1}{\xi^k} (1 - \rho_1^{2k}) \right]$$

$$= \left[\sum_{\nu=-\infty}^{\infty} \nu c_{\nu} \xi^{\nu} \right] \left[\sum_{k=-\infty}^{\infty} \bar{a}_k \frac{1}{\xi^k} (1 - \rho_1^{2k}) \right]$$

$$A(\xi) = \sum_{\nu=-\infty}^{\infty} \sum_{k=-\infty}^{\infty} \nu c_{\nu} \bar{a}_k \xi^{(\nu-k)} (1 - \rho_1^{2k}) \quad (22a)$$

Calculons $B(\xi) = \xi \cdot \varphi'(\xi) \cdot \left[\bar{\omega} \left(\frac{1}{\xi} \right) - \bar{\omega} \left(\frac{\rho_1^2}{\xi} \right) \right]$

$$B(\xi) = \xi \left[\sum_{k=-\infty}^{\infty} k a_k \xi^{k-1} \right] \left[\sum_{\nu=-\infty}^{\infty} c_{\nu} \frac{1}{\xi^{\nu}} (1 - \rho_1^{2\nu}) \right]$$

$$B(\xi) = \left[\sum_{k=-\infty}^{\infty} k a_k \xi^k \right] \left[\sum_{\nu=-\infty}^{\infty} c_{\nu} \frac{1}{\xi^{\nu}} (1 - \rho_1^{2\nu}) \right]$$

$$B(\xi) = \sum_{\nu=-\infty}^{\infty} \sum_{k=-\infty}^{\infty} c_{\nu} (1 - \rho_1^{2\nu}) k a_k \xi^{(k-\nu)} \quad (22b)$$

Opérons quelques changements d'indices :

Prenons (22a)

$$A(\xi) = \sum_{\nu=-\infty}^{\infty} \sum_{k=-\infty}^{\infty} \nu c_{\nu} \bar{a}_k (1 - \rho_1^{2k}) \xi^{(\nu-k)}$$

Posons $h = \nu - k$, donc $k = \nu - h$

$$k = -\infty, \dots, +\infty \quad \cdot \quad h = -\infty, \dots, \infty$$

$$A(\xi) = \sum_{\nu=-\infty}^{\infty} \sum_{h=-\infty}^{\infty} \nu c_{\nu} \bar{a}_{\nu-h} (1 - \rho_1^{2(\nu-h)}) \xi^h$$

en faisant $k = h$, on retrouve

$$A(\xi) = \sum_{\nu=-\infty}^{\infty} \sum_{k=-\infty}^{\infty} \nu c_{\nu} \bar{a}_{\nu-k} (1 - \rho_1^{2(\nu-k)}) \xi^k \quad (23a)$$

Prenons (22 b)

$$B(\xi) = \sum_{\nu=-\infty}^{\infty} \sum_{k=-\infty}^{\infty} c_{\nu} (1 - \rho_i^{2\nu}) k a_k \cdot \xi^{(k-\nu)}$$

Posons $h = k - \nu$, donc $k = h + \nu$

$$k = -\infty, \dots, +\infty \quad \cdot \quad h = -\infty, \dots, +\infty$$

$$B(\xi) = \sum_{\nu=-\infty}^{\infty} \sum_{h=-\infty}^{\infty} c_{\nu} (1 - \rho_i^{2\nu}) (h + \nu) a_{h+\nu} \xi^h$$

En remplaçant h par k , on trouve:

$$B(\xi) = \sum_{\nu=-\infty}^{\infty} \sum_{k=-\infty}^{\infty} c_{\nu} (1 - \rho_i^{2\nu}) (k + \nu) a_{k+\nu} \xi^k \quad (23b)$$

Maintenant que nous avons calculé tous les termes du membre de gauche de l'expression (21 b), cette dernière s'écrit :

$$B(\xi) + A(\xi) = \sum_{\nu=-\infty}^{\infty} \sum_{k=-\infty}^{\infty} \nu c_{\nu} \bar{a}_{\nu-k} (1 - \rho_i^{2(\nu-k)}) \xi^k + \\ + \sum_{\nu=-\infty}^{\infty} \sum_{k=-\infty}^{\infty} c_{\nu} (1 - \rho_i^{2\nu}) (k + \nu) a_{k+\nu} \xi^k$$

En identifiant terme à terme les puissances de ξ , nous pouvons écrire :

$$B(\xi) + A(\xi) = \sum_{\nu=-\infty}^{\infty} \sum_{k=-\infty}^{\infty} \left[\nu c_{\nu} \bar{a}_{\nu-k} (1 - \rho_i^{2(\nu-k)}) + c_{\nu} (1 - \rho_i^{2\nu}) (k + \nu) a_{k+\nu} \right] \xi^k \quad (23d)$$

Occupons-nous maintenant du terme de droite de (21 b)

$$S_d = \xi \omega'(\xi) \left[F_2 \left(\frac{1}{\xi} \right) - f_1 \left(\frac{\rho_i^2}{\xi} \right) \right]$$

Ecrivons, comme le conseille Muskhelishvili, toutes les fonctions du membre de droite sous forme de series de Laurent:

$$w'(z) = \sum_{\nu=-\infty}^{\infty} \nu c_{\nu} z^{\nu-1}$$

Posons $f(z) = \sum_{j=-\infty}^{\infty} b_j z^j$ (la fonction f est aussi holomorphe). Donc :

$$\bar{f}(z) = \bar{f}\left(\frac{z^2}{z}\right) = \sum_{j=-\infty}^{\infty} \bar{b}_j z^j = \sum_{j=-\infty}^{\infty} \bar{b}_j \frac{z_1^{2j}}{z^j}$$

Appliquons là sur les contours extérieur et intérieur.

$$f_2\left(\frac{1}{z}\right) = \sum_{j=-\infty}^{\infty} \bar{B}_j \frac{1}{z^j} \quad \text{en posant } \bar{b}_j = \bar{B}_j \text{ sur } \sigma_2$$

$$f_1\left(\frac{z_1^2}{z}\right) = \sum_{j=-\infty}^{\infty} A_j \frac{z_1^{2j}}{z^j} \quad \text{en posant } \bar{b}_j = \bar{A}_j \text{ sur } \sigma_1$$

Calculons $f_2\left(\frac{1}{z}\right) - f_1\left(\frac{z_1^2}{z}\right)$.

$$f_2\left(\frac{1}{z}\right) - f_1\left(\frac{z_1^2}{z}\right) = \sum_{j=-\infty}^{\infty} \bar{B}_j \frac{1}{z^j} - \sum_{j=-\infty}^{\infty} A_j \frac{z_1^{2j}}{z^j}$$

$$f_2\left(\frac{1}{z}\right) - f_1\left(\frac{z_1^2}{z}\right) = \sum_{j=-\infty}^{\infty} (\bar{B}_j - \bar{A}_j z_1^{2j}) \frac{1}{z^j}$$

Calculons $S_d = z \cdot w'(z) \left[f_2\left(\frac{1}{z}\right) - f_1\left(\frac{z_1^2}{z}\right) \right]$

$$S_d = z \sum_{\nu=-\infty}^{\infty} \nu c_{\nu} z^{\nu-1} \sum_{j=-\infty}^{\infty} (\bar{B}_j - \bar{A}_j z_1^{2j}) \frac{1}{z^j}$$

$$S_d = \sum_{\nu=-\infty}^{\infty} \nu c_{\nu} z^{\nu} \sum_{j=-\infty}^{\infty} (\bar{B}_j - \bar{A}_j z_1^{2j}) \frac{1}{z^j}$$

$$S_d = \sum_{\nu=-\infty}^{\infty} \sum_{j=-\infty}^{\infty} \nu c_{\nu} (\bar{B}_j - \bar{A}_j z_1^{2j}) z^{\nu-j} \quad (22c)$$

Posons $k = \nu - j$; donc $j = \nu - k$

$$j = -\infty, \dots, +\infty \quad k = -\infty, \dots, +\infty$$

$$S_d = \sum_{\nu=-\infty}^{\infty} \sum_{k=-\infty}^{\infty} \nu c_{\nu} \left(\bar{B}_{\nu-k} - \bar{A}_{\nu-k} \rho_1^{2(\nu-k)} \right) \xi^k \quad (23c)$$

Pour retrouver l'égalité (21b), nous n'avons qu'à faire $A(\xi) + B(\xi) = S_d$.

Remplaçons les deux parties de cette égalité par leur expression en (23d) et (23c) :

$$\begin{aligned} \sum_{\nu=-\infty}^{\infty} \sum_{k=-\infty}^{\infty} \left[\nu c_{\nu} \bar{a}_{\nu-k} \left(1 - \rho_1^{2(\nu-k)} \right) + c_{\nu} (k+\nu) \left(1 - \rho_1^{2\nu} \right) a_{k+\nu} \right] \xi^k = \\ = \sum_{\nu=-\infty}^{\infty} \sum_{k=-\infty}^{\infty} \nu c_{\nu} \left(\bar{B}_{\nu-k} - \bar{A}_{\nu-k} \rho_1^{2(\nu-k)} \right) \xi^k \end{aligned} \quad (24)$$

Comme ξ est complexe et variable, alors (24) n'a de solutions dans \mathbb{C} (ensemble des complexes) que si tout les termes de la série de gauche sont égaux aux termes de la série de droite. Ceci n'est possible qu'en identifiant les deux séries terme à terme. Cela donne :

$$\begin{aligned} \sum_{\nu=-\infty}^{\infty} \nu c_{\nu} \bar{a}_{\nu-k} \left(1 - \rho_1^{2(\nu-k)} \right) + c_{\nu} (k+\nu) \left(1 - \rho_1^{2\nu} \right) a_{k+\nu} = \\ = \sum_{\nu=-\infty}^{\infty} \nu c_{\nu} \left(\bar{B}_{\nu-k} - \bar{A}_{\nu-k} \rho_1^{2(\nu-k)} \right) \end{aligned} \quad (25)$$

$$k = -\infty, \dots, +\infty$$

Pratiquement les variations de ν sont limitées (voir Chap. III).

Nous supposons qu'il en est de même pour k et nous posons

$$k = -2m, \dots, 2m-1$$

$$v = -2m, \dots, 2m-1$$

Le système (25) s'écrit alors :

$$\sum_{v=-2m}^{2m-1} v c_v \bar{a}_{v-k} (1 - \rho_1^{2(v-k)}) + c_v (k+v) (1 + \rho_1^{2v}) a_{k+v} =$$

$$= \sum_{v=-2m}^{2m-1} v c_v (\bar{B}_{v-k} - \bar{A}_{v+k} \rho_1^{2(v-k)}) \quad (26)$$

$$k = -2m, \dots, 2m-1$$

La résolution de ce système d'équation (En fait, il existe deux systèmes à cause des nombres complexes) nous donne les a_k en fonction des B_k , A_k et c_v . La fonction potentiel Ψ sera ainsi déterminée

IV 3 DETERMINATION DE LA FONCTION DE LA CONTRAINTE EXTERIEURE

Au chapitre II, nous avons établie

$$f(\sigma) = i \int_c (X_n + i Y_n) dS$$

En dérivant cette expression, nous obtenons :

$$f'(\sigma) d\sigma = i (X_n + i Y_n) dS$$

Or $\cos \alpha = \frac{dy}{ds}$ et $\sin \alpha = -\frac{dx}{ds}$ donc

$$dy = \cos \alpha \, ds \quad \text{et} \quad dx = -\sin \alpha \, ds$$

$$dx + i dy = d(x + iy) = dz = -ds \sin \alpha + i ds \cos \alpha$$

$$dz = i ds (\cos \alpha + i \sin \alpha) = i ds e^{i\alpha}$$

$$\text{Donc} \quad dz = i ds e^{i\alpha}$$

$$\text{d'où} \quad ds = \frac{dz}{i} e^{-i\alpha}$$

$$\text{Comme} \quad dz = \omega'(\sigma) d\sigma$$

$$\text{Donc} \quad ds = \frac{\omega'(\sigma)}{i} e^{-i\alpha} d\sigma$$

En remplaçant ceci dans l'expression de $f'(\sigma)$, nous obtenons :

$$f'(\sigma) d\sigma = (X_n + i Y_n) e^{-i\alpha} \omega'(\sigma) d\sigma$$

$$\text{Or} \quad (X_n + i Y_n) = \sigma_s + i \tau_{s\theta} e^{i\alpha}$$

$$\text{Donc} \quad f'(\sigma) = (\sigma_s + i \tau_{s\theta}) \omega'(\sigma) \quad (27)$$

Cette expression est très importante car elle permet de connaître $f(\sigma)$ à partir des contraintes aux bornes.

Dans notre cas, il n'y a pas de rotation de la pièce lors du filage. Ceci veut dire que : $\tau_{s\theta} = 0$. En remplaçant ceci dans (27) nous tirons :

$$f'(\sigma) = \sigma_s \cdot \omega'(\sigma) \quad (27')$$

Comme nous l'avons écrit précédemment, la résolution du

problème passe par la détermination des coefficients a_k par la résolution de (25) (ou de (26)). Pour cela, nous avons besoin de déterminer les coefficients A_k et B_k des fonctions f_1 et f_2 . La détermination des A_k et B_k dépend de la forme de la sollicitation. Chaque cas donnera des B_k et A_k différents.

IV 3 a Premier cas : Pression intérieure constante - Pression extérieure nulle.

En posant : P_1 = pression agissant sur le contour intérieur

P_2 = Pression agissant sur le contour extérieur

$$P_1 = \text{constante} \quad ; \quad P_2 = 0$$

Reprenons (27').

$$f'(\sigma) = \sigma_\theta w'(\sigma) \quad \text{or } \sigma_\theta = -P \quad \text{donc}$$

$$f'_1(\sigma) = -P_1 w'(\sigma)$$

$$f'_2(\sigma) = 0$$

$$\text{Cela donne } f_1(\sigma) = -P_1 w(\sigma)$$

$$f_2(\sigma) = 0$$

$$\text{Or } w(\sigma) = \sum_{\nu=-\infty}^{\infty} C_\nu \sigma^\nu. \quad \text{Nous aurons donc}$$

$$f_1(\sigma) = \sum_{k=-\infty}^{\infty} A_k \sigma^k = \sum_{\nu=-\infty}^{\infty} -P_1 C_\nu \sigma^\nu$$

$$\text{Donc } A_k = \bar{A}_k = -P_1 C_k$$

$$f_2(\sigma) = 0 \quad \text{donc } B_k = \bar{B}_k = 0$$

En conclusion.

$$\begin{cases} A_k = \bar{A}_k = -P_1 C_k \\ B_k = \bar{B}_k = 0 \end{cases}$$

En remplaçant ceci dans l'expression (26) nous aurons

$$\sum_{\nu=-2m}^{2m-1} \nu C_\nu \bar{a}_{\nu-k} (1 - \rho_1^{2(\nu-k)}) + C_\nu (k+\nu) a_{k+\nu} (1 - \rho_1^{2\nu}) = \sum_{\nu=-2m}^{2m-1} \nu C_\nu P_1 C_{\nu-k} \rho_1^{2(\nu-k)} \quad (28)$$

$k = -2m, \dots, 2m-1$

La résolution par programmation de (28) donnera directement les a_k .

IV 36 Deuxième cas : Pressions intérieure et extérieure constantes

La matrice étant maintenue dans une frette qui exerce une pression régulière sur elle, la frette étant cylindrique, la pression extérieure est constante (à cause de la symétrie du cercle) *

Par contre, en supposant que la pression intérieure est constante, nous étudions un cas purement théorique.

$$P_1 = \text{constante} \quad ; \quad P_2 = \text{constante}$$

$$f_2(\sigma) = -P_2 w'(\sigma)$$

$$f_1(\sigma) = -P_1 w'(\sigma)$$

D'écici nous tirons :

$$f_2(\sigma) = -P_2 w(\sigma) = -P_2 \sum_{\nu=-\infty}^{\infty} C_\nu \sigma^\nu = \sum_{\nu=-\infty}^{\infty} -P_2 C_\nu \sigma^\nu$$

$$f_1(\sigma) = -P_1 w(\sigma) = -P_1 \sum_{\nu=-\infty}^{\infty} C_\nu \sigma^\nu = \sum_{\nu=-\infty}^{\infty} -P_1 C_\nu \sigma^\nu$$

(*) Voir détermination de P_2 en annexe.

$$\text{Donc } B_k = \bar{B}_k = -P_2 C_k$$

$$A_k = \bar{A}_k = -P_1 C_k.$$

En remplaçant ceci dans (26), nous aurons :

$$\sum_{\nu=-2m}^{2m-1} \nu C_\nu \bar{a}_{\nu-k} \left(1 - \rho_1^{2(\nu-k)}\right) + C_\nu (k+\nu) a_{k+\nu} \left(1 - \rho_1^{2\nu}\right) =$$

$$\sum_{\nu=-2m}^{2m-1} \nu C_\nu \left(-P_2 + P_1 \rho_1^{2(\nu-k)}\right) C_{\nu-k} \quad (29).$$

IV 3c Troisième cas : Pression intérieure variable, pression extérieure constante :

Nous essayons par approximations successives de nous rapprocher le plus possible de la réalité. En effet, dans ce cas la pression extérieure est constante, mais la pression intérieure est variable.

L'expression de P_2 est étudiée en annexe.

Quelles sont les propriétés de la fonction P_1 ?

Le domaine étudié est un anneau de rayons extérieur et intérieur respectifs 1 et ρ_1 . Sur ce domaine, P_1 est périodique, à cause de la symétrie de forme et de sollicitation. En effet, sur la matrice, la pression est répartie de la même manière sur tous les pans.

Les transformations conformes conservant les angles, nous pouvons écrire : $|P(z)| = |P(\sigma)|$. Nous noterons $|P(z)| = P_1$

D'autre part, $\int_c P(\sigma) d\sigma = 0$ ou $c =$ contour de l'anneau en entier.

La période est de $\pi/3$ qui est l'angle constitué par un seul

pan. $P_1 = \text{constante}$, donc $\sigma = P_1 e^{i\alpha}$ donc $P(\sigma) = P(\alpha)$.

La périodicité s'écrit :

$$P(\alpha) = P(\alpha + \pi/3)$$

D'autre part, la symétrie de forme et de sollicitation implique nécessairement la symétrie de répartition des contraintes, ce qui veut dire que la fonction est paire, ce qui s'écrit :

$$P(\alpha) = P(-\alpha)$$

La pression P_1 est majorée, car la matrice nese casse pas sous l'effet de la pression

$$P_1 \leq P_0$$

Enfin, la fonction donnant P_1 est continue et dérivable sur tout le contour car elle y est définie en tout point et ses variations sont régulières.

En conclusion :

P_{est} : - continue

- dérivable $\frac{dP}{d\alpha}$ existe en tout point de C

- majorée $|P_1| \leq P_0$

- périodique $P(\alpha) = P(\alpha + \pi/3)$

- paire $P(\alpha) = P(-\alpha)$.

D'autre part, et à cause de la symétrie,

(30)

$$- \frac{dP(\pi/3)}{d\alpha} = \frac{dP(0)}{d\alpha} = 0$$

$$- \frac{dP(\pi/6)}{d\alpha} = 0$$

$$- P(0) = P(\pi/3) = P_{\min}$$

$$- P(\pi/6) = P_{\max} = P_0$$

La fonction représentant P_1 doit remplir les conditions ci dessus

La détermination de P_{min} et $P_{max} = P_0$ est faite en annexe.

La connaissance de la fonction est primordiale pour l'étude des contraintes. Si la fonction est connue en tout point, nous n'aurons qu'à l'injecter dans l'expression de f' et intégrer le tout par une méthode ou une autre, puis en tirer les A_k . Si la fonction n'est connue qu'en un nombre limité de points, nous utiliserons pour l'intégration de $f'(\sigma)$ la méthode dite des trapèzes enseignée en analyse numérique.

N'ayant ni l'expression mathématique de la pression, ni ses valeurs en un nombre limité de points, nous ne pouvons qu'étudier un cas arbitraire qui se rapproche de la réalité.

IV 3d Supposons que la fonction $P(\alpha)$ s'écrive sous la forme

$$P_1(\alpha) = P_{min} + f(\alpha, \sigma)$$

$$\text{avec } \left\{ \begin{array}{l} P_{min} = k f_0 \text{ (contrainte d'écoulement)} \\ f(\alpha, \sigma) = \frac{\sigma}{2} \ln(1,35) (1 - \cos 6\alpha) \\ P_2 = \text{Constante} \end{array} \right. \quad (*)$$

La fonction $P(\alpha)$ ainsi définie vérifie bien les conditions énoncées en (30).

Injectons P_1 et P_2 dans l'expression donnant $f'(\sigma)$.

$$f'_2(\sigma) = -P_2 \omega'(\sigma)$$

$$f'_1(\sigma) = -P_1(\alpha) \cdot \omega'(\sigma).$$

(*) voir annexe

Cela donne :

$$f_2(\sigma) = \sum_{k=-\infty}^{\infty} B_k \sigma^k = \sum_{k=-\infty}^{\infty} -P_2 c_k \sigma^k \Rightarrow B_k = \bar{B}_k = -P_2 C_k$$

$$f_1(\sigma) = \sum_{k=-\infty}^{\infty} A_k \sigma^k \quad (*)$$

$$A_k = \bar{A}_k = - \left[k f_0 + \frac{a}{2} \ln(1,35) \right] C_k + \frac{a}{2} \ln(1,35) (k-6) C_{k-6} \frac{1}{k 9,6} + (k+6) C_{k+6} \frac{9,6}{k}$$

En injectant B_k et A_k dans (26) nous obtiendrons, par résolution du système d'équations linéaires, les a_k .

IV 3e Méthode de résolution.

Le système d'équation (26) est résolu numériquement sur micro-ordinateur après programmation de l'expression (26) sur ce dernier. Il est à noter que les résultats dépendent du nombre d'équations considérées. Plus ce nombre est grand, et plus la précision est meilleure. Le résultat dépend donc aussi de la capacité du micro-ordinateur utilisé.

(*) Voir annexe : calcul de A_k .

CHAPITRE V

CALCUL DES CONTRAINTES ET

RESULTATS

V.1 CALCUL DES CONTRAINTES

Reprenons l'expression (14a):

$$\sigma_s + \sigma_\theta = 4 \operatorname{Re} \left[\frac{\varphi'(\xi)}{w'(\xi)} \right] = 4 \operatorname{Re} \left[\frac{\varphi'(\xi) \cdot \bar{w}'(\xi)}{w'(\xi) w'(\xi)} \right]$$

$$\text{or } w'(\xi) \cdot \bar{w}'(\xi) = |w'(\xi)|^2 = |\bar{w}'(\xi)|^2 \in \mathbb{R}.$$

Reécrivons φ' et \bar{w}' en séparant les parties réels et imaginaires.

$$\varphi'(\xi) = \operatorname{Re}(\varphi'(\xi)) + i \operatorname{Im}(\varphi'(\xi))$$

$$\bar{w}'(\xi) = \operatorname{Re}(\bar{w}'(\xi)) + i \operatorname{Im}(\bar{w}'(\xi))$$

Calculons maintenant $\varphi'(\xi) \cdot \bar{w}'(\xi)$.

$$\begin{aligned} \varphi'(\xi) \cdot \bar{w}'(\xi) = & \left[\operatorname{Re}(\varphi'(\xi)) \operatorname{Re}(\bar{w}'(\xi)) - \operatorname{Im}(\varphi'(\xi)) \operatorname{Im}(\bar{w}'(\xi)) \right] + i \left[\operatorname{Re}(\varphi'(\xi)) \operatorname{Im}(\bar{w}'(\xi)) \right. \\ & \left. + \operatorname{Im}(\varphi'(\xi)) \operatorname{Re}(\bar{w}'(\xi)) \right] \end{aligned}$$

$$\text{Donc } \operatorname{Re} [\varphi'(\xi) \bar{\omega}'(\xi)] = \operatorname{Re}(\varphi'(\xi)) \operatorname{Re}(\bar{\omega}'(\xi)) - \operatorname{Im}(\varphi'(\xi)) \operatorname{Im}(\bar{\omega}'(\xi)).$$

En remplaçant ceci dans l'expression de $\sigma_s + \sigma_\theta$, nous obtenons :

$$\sigma_s + \sigma_\theta = 4 \left[\frac{\operatorname{Re}(\varphi'(\xi)) \operatorname{Re}(\bar{\omega}'(\xi)) - \operatorname{Im}(\varphi'(\xi)) \operatorname{Im}(\bar{\omega}'(\xi))}{|\omega'(\xi)|^2} \right]$$

$$|\omega'(\xi)|^2 = \operatorname{Re}(\omega'(\xi))^2 + \operatorname{Im}(\omega'(\xi))^2.$$

D'autre part $\sigma_s = -P_1$ sur le contour γ_1 , or nous voulons justement calculer les contraintes sur ce contour. Nous écrivons donc

$$\sigma_s = 4 \left[\frac{\operatorname{Re} \varphi'(\xi) \operatorname{Re} \bar{\omega}'(\xi) - \operatorname{Im}(\varphi'(\xi)) \operatorname{Im} \bar{\omega}'(\xi)}{\operatorname{Re}^2(\omega'(\xi)) + \operatorname{Im}^2(\omega'(\xi))} \right] + P_1$$

V2 RESULTATS

Nous avons réalisé plusieurs séries d'essais. Nous avons fait varier dans chaque cas les différents paramètres influant sur les variations des contraintes. Ainsi, au premier cas, nous avons fait varier la pression P_1 en gardant les grandeurs restantes constantes, puis nous avons fait varier le rayon r en gardant P_1 constant. Au deuxième cas, nous avons introduit la précontrainte et nous avons ainsi étudié les deux essais du premier cas, puis un essai où la précontrainte varie avec les autres paramètres constants. Au troisième cas, l'acier étant défini, nous avons étudié l'influence de la précontrainte et du rayon. Enfin, nous avons réalisé une série d'essais de vérifications avec le cercle (Voir vérification). Pour la majorité, nous avons choisi une matrice dont les dimensions

1^{er} cas Influence de r
 P1 CONSTANTE P1= 700
 P2 NULLE P2= 0
 r= 4

SIGMA
 885.6784
 850.032
 819.4448
 811.4838
 819.4446
 850.0314
 885.6779

P1 CONSTANTE P1= 700
 P2 NULLE P2= 0
 r= 1

SIGMA
 876.162
 873.4849
 866.4151
 857.1064
 847.5959
 839.1289
 832.2115
 826.9145
 823.1273
 820.7025
 819.5216
 819.5215
 820.7021
 823.1268
 826.9137
 832.2106
 839.1279
 847.5948
 857.1052
 866.4139
 873.4836
 876.1608

2^{eme} cas Influence de r
 P1 CONSTANTE, P1= 700
 P2 CONSTANTE P2= 25.89844
 r= 4

SIGMA
 810.2751
 789.1046
 770.9388
 766.2107
 770.9386
 789.1043
 810.2748

P1 CONSTANTE, P1= 700
 P2 CONSTANTE P2= 26.22812
 r= 1

SIGMA
 804.6626
 803.072
 798.8717
 793.3411
 787.6907
 782.6602
 778.5505
 775.4033
 773.1532
 771.7125
 771.011
 771.011
 771.7124
 773.1529
 775.4028
 778.5499
 782.6596
 787.69
 793.3405
 798.871
 803.0713
 804.6618

SIGMA
 876.162
 873.4849
 866.4151
 857.1064
 847.5959
 839.1289

SIGMA
 804.6626
 803.072
 798.8717
 793.3411

P1 CONSTANTE P1= 700
 P2 NULLE P2= 0
 r= 9.999999E-06

P1 CONSTANTE, P1= 700
 P2 CONSTANTE P2= 26.25
 r= 9.999999E-06

SIGMA

SIGMA

879.839
 876.1544
 866.7836
 855.1984
 844.1958
 835.097
 828.1936
 823.334
 820.2666
 818.7872
 818.7871
 820.2665
 823.3338
 828.1935
 835.0968
 844.1956
 855.1982
 866.7835
 876.1543
 879.8389

807.085
 804.8911
 799.3113
 792.4128
 785.8613
 780.4434
 776.3328
 773.4391
 771.6127
 770.7318
 770.7318
 771.6127
 773.4391
 776.3328
 780.4433
 785.8612
 792.4128
 799.3111
 804.891
 807.085

2ème cas Influence de la précontrainte

P1 CONSTANTE P1= 700
 P2 CONSTANTE P2= 13.0812
 r= 2

P1 CONSTANTE, P1= 700
 P2 CONSTANTE P2= 91.56841
 r= 2

SIGMA

SIGMA

SIGMA

SIGMA

845.7813
 836.484
 819.0342
 805.1551
 796.9242
 793.2351
 793.2349
 796.9237
 805.1545
 819.0333
 836.4831
 845.7804

804.8911
 776.0988
 771.2435
 762.1321
 754.8876
 750.593
 748.669
 748.669
 750.5929
 754.8873
 762.1318
 771.2431
 776.0983

P1 CONSTANTE P1= 700
 P2 CONSTANTE P2= 45.7842
 r= 2

P1 CONSTANTE, P1= 700
 P2 CONSTANTE P2= 130.812
 r= 2

SIGMA

SIGMA

753.3313
 749.9301
 743.5463
 738.469
 735.4578
 734.1083
 734.1082
 735.4577
 738.4688
 743.546
 749.9297
 753.331

887.0388
 875.1054
 852.7111
 834.905
 824.3498
 819.6208
 819.6208
 824.3495
 834.9045
 852.7103
 875.1043
 887.0376

45000 Influence de P1

P1 CONSTANTE P1= 700
P2 NULLE P2= 0
r= 2

SIGMA

- 882.7614
- 871.1056
- 849.2292
- 831.8296
- 821.5108
- 816.8858
- 816.8856
- 821.5101
- 831.8288
- 849.2281
- 871.1044
- 882.7601

45000 Influence de P1

P1 CONSTANTE, P1= 700
P2 CONSTANTE P2= 26.16241
r= 2

SIGMA

- 808.8013
- 801.8625
- 788.8391
- 778.4806
- 772.3376
- 769.5844
- 769.5843
- 772.3373
- 778.4801
- 788.8384
- 801.8617
- 808.8006

P1 CONSTANTE P1= 900
P2 NULLE P2= 0
r= 2

SIGMA

- 1134.979
- 1119.993
- 1091.866
- 1069.495
- 1056.228
- 1050.282
- 1050.282
- 1056.227
- 1069.494
- 1091.865
- 1119.991
- 1134.977

P1 CONSTANTE, P1= 900
P2 CONSTANTE P2= 26.16241
r= 2

SIGMA

- 1061.019
- 1050.75
- 1031.476
- 1016.146
- 1007.055
- 1002.98
- 1002.98
- 1007.055
- 1016.145
- 1031.475
- 1050.749
- 1061.018

P1 CONSTANTE P1= 1100
P2 NULLE P2= 0
r= 2

SIGMA

- 1387.196
- 1368.88
- 1334.503
- 1307.161
- 1290.945
- 1283.678
- 1283.677
- 1290.945
- 1307.159
- 1334.501
- 1368.878
- 1387.195

P1 CONSTANTE, P1= 1100
P2 CONSTANTE P2= 26.16241
r= 2

SIGMA

- 1313.236
- 1299.637
- 1274.113
- 1253.812
- 1241.772
- 1236.376
- 1236.376
- 1241.772
- 1253.811
- 1274.112
- 1299.636
- 1313.235

3^{ème} Coe Influence du rayon

P1 VARIABLE
P2 CONSTATE P2= 26.16241
r= 2

SIGMA

475.2342
491.041
539.8921
611.6013
681.3962
723.9143
723.9139
681.3948
611.5994
539.8895
491.038
475.231

P1 VARIABLE
P2 CONSTATE P2= 26.22812
r= 1

SIGMA

456.7981
461.8342
476.935
501.6865
534.6253
573.068
613.4489
651.8495
684.5041
708.2171
720.6781
720.678
708.2167
684.5034
651.8484
613.4475
573.0664
534.6234
501.6844
476.9328
461.8319
456.7958

P1 VARIABLE
P2 CONSTATE P2= 25.89844
r= 4

SIGMA

503.9164
549.3208
673.9256
742.316
673.9254
549.32
503.9157

P1 VARIABLE
P2 CONSTATE
r= 4

P1 VARIABLE
P2 CONSTATE
r= 1

P2= 26.22812

SIGMA

3^{ème} Coe Influence de la preconstante

P1 VARIABLE
P2 CONSTATE P2= 13.0812
r= 2

SIGMA

512.2142
525.6626
570.0873
638.2758
705.9828
747.5651
747.5646
705.9813
638.2737
570.0844
525.6593
512.2108

P1 VARIABLE
P2 CONSTATE P2= 58.86541
r= 2

SIGMA

456.7981
461.8342
476.935
501.6865
534.6253
573.068
613.4489
651.8495
684.5041
708.2171
382.7842
404.4871
464.4044
544.9153
619.9298
664.7875
664.7873
619.9288
544.9137
464.4023
404.4846
382.7816

P1 VARIABLE
P2 CONSTATE
r= 4

P1 VARIABLE
P2 CONSTATE

P2= 26.22812

P1 VARIABLE
 P2 CONSTANTE P2= 130.812
 r= 2

SIGMA
 520.606
 533.5391
 577.0078
 644.455
 711.7381
 753.1373
 753.1373
 711.7383
 644.4553
 577.0083
 533.5401
 520.6072

Verification avec un trou annulaire

P1 CONSTANTE P1= 700
 P2 NULLE P2= 0
 r= 8.660254

P1 CONSTANTE, P1= 700
 P2 CONSTANTE P2= 43.00532
 r= 8.660254

SIGMA
 P1 VARIABLE
 P2 CONSTANTE
 r= 2
 832.9919
 832.635
 831.6235
 830.117
 828.3325
 826.4962
 824.8073
 823.4201
 822.4416
 821.9371
 821.9371
 822.4415
 823.42
 824.8071
 826.4961
 828.3324
 830.117
 831.6235
 832.635
 832.9918

SIGMA
 734.9458
 734.8521
 734.5863
 734.1904
 733.7215
 733.239
 732.7952
 732.4307
 732.1735
 732.041
 732.041
 732.1735
 732.4306
 732.7951
 733.239
 733.7215
 734.1904
 734.5863
 734.8521
 734.9458

P1 CONSTANTE P1= 700
 P2 NULLE P2= 0
 r= 8.660254

P1 CONSTANTE, P1= 700
 P2 CONSTANTE P2= 43.00532
 r= 8.660254

SIGMA
 P1 VARIABLE
 P2 CONSTANTE
 r= 2
 832.9919
 832.635
 831.6235
 830.117
 828.3325
 826.4962
 824.8073
 823.4201
 822.4416
 821.9371
 821.9371
 822.4415
 823.42
 824.8071
 826.4961
 828.3324
 830.117
 831.6235
 832.635
 832.9918

SIGMA
 734.9458
 734.8521
 734.5863
 734.1904
 733.7215
 733.239
 732.7952
 732.4307
 732.1735

sont ($R=30$, $r=2$, $a=10$), une frette de rayon extérieur $R_2 = 60$, une pression intérieure $P_1 = 700$ et une précontrainte extérieure $P_2 = 26,15$.

V 3 INTERPRETATION DES RESULTATS

V 3a Premier cas :

Nous voyons que pour une pression intérieure constante, sans précontrainte, la variation de la contrainte σ_θ sur un pan est fonction du rayon r de l'arrondi. On remarque aussi que la contrainte est maximale aux coins (Concentration des contraintes) et est minimale au milieu du pan ($\alpha = \pi/6$), ce qui confirme les observations. D'autre part, une augmentation du rayon crée une diminution de la contrainte maximale. Cela est aussi normal car plus l'angle est "arrondi", et plus la discontinuité de la forme de la pièce est faible, donc la contrainte est plus répartie. Ces observations rejoignent celles faites auparavant (*).

Rappelons que sur α_1 .

$$\begin{cases} \sigma_r = -P_1 \\ \sigma_\theta = 0 \end{cases}$$

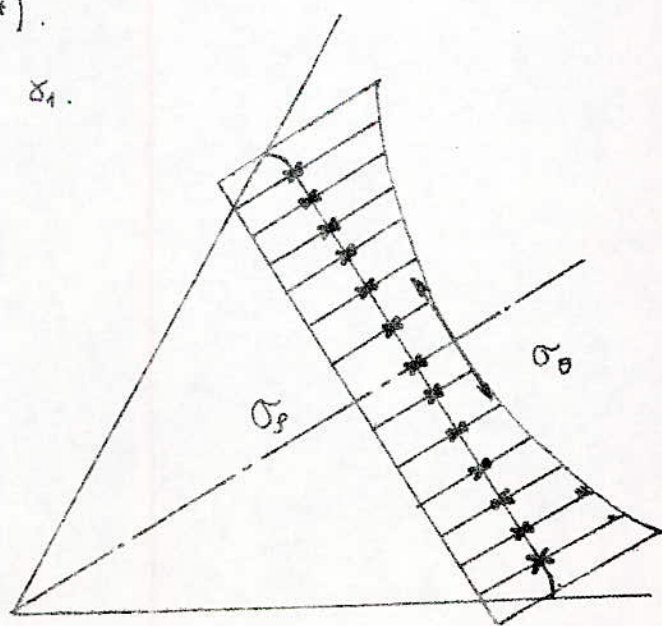


fig 3 Répartition des contraintes sur le contour intérieur.

* [7]

V 3b Deuxième cas

L'apparition de la précontrainte amène une différence au niveau des contraintes. En effet, on remarque que σ_0 diminue avec l'augmentation de la précontrainte puis augmente après avoir atteint un minimum. Cela revient au fait qu'en augmentant la précontrainte, on agit inversement à l'action de la pression P_1 existante sur le contour intérieur à cause de l'équilibre des contraintes dans la matière. Mais à partir d'une certaine valeur, c'est la précontrainte qui devient prédominante et on a alors augmentation de σ_0 avec l'augmentation de la précontrainte.

Il est à noter que la variation de rayon n'a pas d'effet direct sur la contrainte lorsque c'est la précontrainte qui est prédominante.

Ce cas de figure (Précontrainte prédominante) n'est pas utile car cela revient à rendre important le rôle de la précontrainte, alors que le but recherché en créant cette précontrainte est la diminution de la p contrainte σ_0 , sans plus, et aussi le maintien de la matrice dans la frette.

Le cas idéal serait de créer une précontrainte qui diminuerait au maximum la contrainte σ_0 dans la matrice.

La répartition des contraintes σ_s et σ_0 est la même que dans le premier cas fig 3

V 3c Troisième cas

Ce cas est plus proche de la réalité. En effet, la pression P_1 variable est due à la géométrie de la matrice, car plus on s'éloigne de l'axe de la matrice — qui en résistance des

matériaux est appelé axe neutre - plus la contrainte est faible.

Les conditions énoncées en découlent de l'observation. Leur vérification nécessite des expériences. Néanmoins, la fonction étudiée au troisième cas se rapproche de la fonction réelle en ce sens que ses variations sont a priori identiques.

En consultant les résultats, on remarque que la contrainte σ_θ est minimale aux coins et est maximale au milieu du pan, lorsque la précontrainte est minimale. Cela est normal car la seule cause de l'existence de σ_θ est la pression P_1 , d'où des variations similaires.

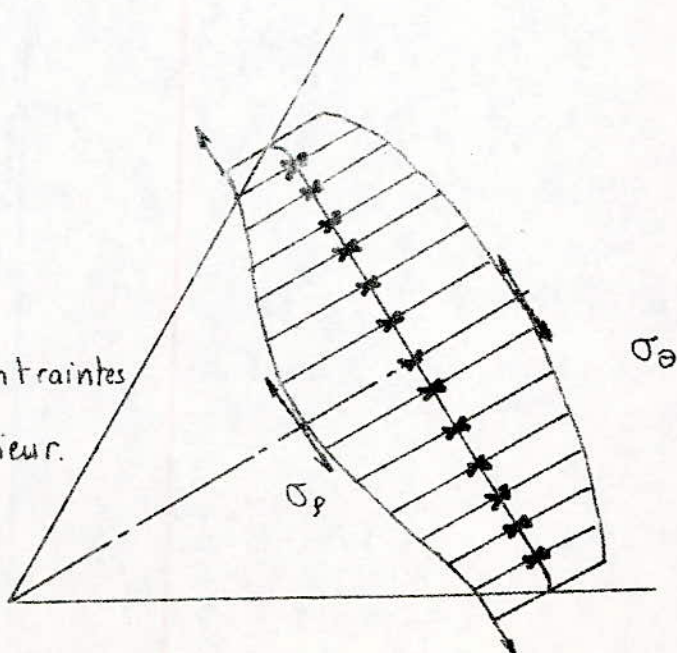
En augmentant la précontrainte, cette variation devient moins grande jusqu'à s'inverser et augmenter (mais dans le sens inverse). Cela est dû à la prédominance de la précontrainte en ce cas là

Sur γ_1

$$\sigma_p = -P_1$$

$$\gamma_{\sigma\theta} = 0$$

Fig 4:
Répartition des contraintes
sur le contour intérieur.



CONCLUSION

La théorie de Muskhelishvili est intéressante pour la détermination des contraintes. Sa mise en oeuvre nécessite l'emploi de moyens informatiques (dans notre cas, un micro-ordinateur). Plus la capacité de l'appareil est grande, plus les résultats sont précis.

Nous avons établie que la présence de la précontrainte a un effet certain sur les variations des contraintes, allant jusqu'à jouer un rôle prédominant lorsqu'elle devient importante.

Nous avons établie pour les trois cas étudiés la variation des contraintes le long d'un pan de l'hexagone, ce qui pourrait être étendu à tout l'hexagone par symétrie.

Nous pouvons déterminer la valeur du rayon pour laquelle les contraintes sont minimisées, et en combinant ceci avec l'augmentation de la précontrainte, diminuer au maximum les contraintes à l'intérieur de la matrice.

Ainsi, avec ces trois résultats, nous pouvons concevoir la forme de la matrice pour laquelle les contraintes seront minimales.

L'augmentation du rayon amène la diminution de la contrainte maximale, mais aussi une augmentation de la contrainte minimale. Cela est dû au fait que plus le rayon est grand, et plus la contrainte est répartie sur le contour, donc plus l'écart entre les pressions maximale et minimale est faible.

V4 VERIFICATION DE LA METHODE

Un moyen rapide de vérification de la méthode consiste à appliquer celle-ci pour un cercle. En effet, lorsque le trou de la matrice devient circulaire, la formule donnant σ_{θ} est connue (Tubes épais)

$$\sigma_{\theta} = P \left(\frac{r^2}{R^2 - r^2} \right) \left(1 + \frac{R^2}{x^2} \right) \quad r \leq x \leq R$$

Pour trouver les contraintes sur le contour intérieur, il faut faire $P = P_1$ et $x = r$.

La vérification de la méthode consiste à prendre une matrice de dimensions :

$$a = a, \quad r = \frac{a\sqrt{3}}{2}, \quad R = R.$$

Tout ceci nous amène à concevoir quelques suites possibles à cette étude, et qui sont :

Étude de l'action de la précontrainte sur d'autres formes de la matrice

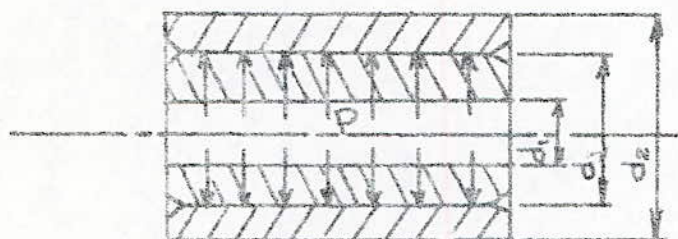
Généralisation de l'action de la pression intérieure variable à des formes plus complexes de matrices. Ces formes pourraient être : carré, pentagone, décagone...

Nous espérons que ce modeste travail puisse enrichir la compréhension des mécanismes régissant la déformation de la matière, et ainsi contribuer à agrandir le domaine d'étude de la résistance des matériaux.

ANNEXE I

DETERMINATION DE LA PRECONTRAINTE

La précontrainte P_2 est tirée du principe des assemblages forcés. La formule qui détermine P_2 est empirique.



La formule s'écrit:
$$P = \frac{S \cdot 10^{-3}}{d \left(\frac{C_1}{E_1} + \frac{C_2}{E_2} \right)}$$

P = Pression générée par le serrage (Précontrainte) (daN/mm²)

S = Serrage = différence de diamètres des pièces assemblées

S : [μm]

E_1, E_2 = Modules d'élasticité longitudinale pour les deux pièces [daN/mm^2]

C_1 et C_2 = Coefficient déterminés par la relation de Lamé

$$C_1 = \frac{d_2^2 + d_1^2}{d_2^2 - d_1^2} - \mu_1 \quad ; \quad C_2 = \frac{d_2^2 + d^2}{d_2^2 - d^2} + \mu_2$$

μ_1, μ_2 = coefficients de Poisson $\mu_{acier} = 0,3$, $\mu_{fonte} = 0,25$

ANNEXE II

DETERMINATION DE LA VARIATION DE LA PRESSION POUR LE TROISIEME CAS

Determination de P_{min} .

$$P_{min} = k_{fo} \text{ (Contrainte d'écoulement)}$$

En effet, il n'est pas utile de déformer encore plus le métal pour obtenir la forme désirée.

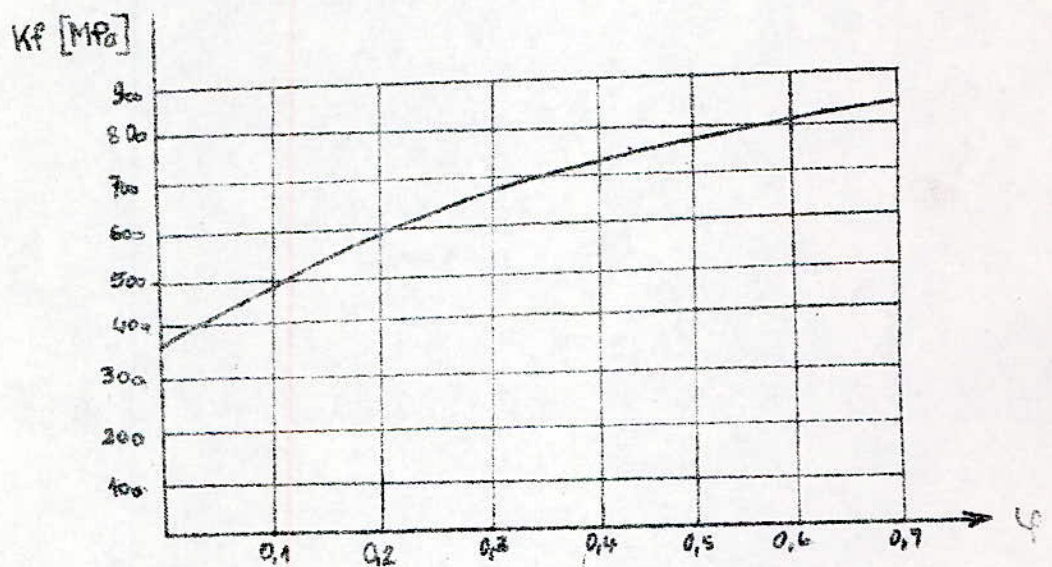


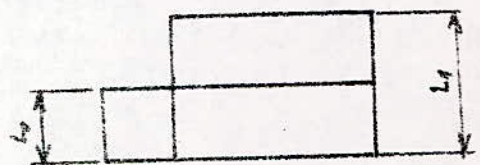
fig 1 XC 15

Pour l'acier XC15 $k_{fo} = 370 \text{ MPa}$

Determination de a

$$\varphi = \ln\left(\frac{L_0}{L_1}\right)$$

L_0 : Longueur initiale, L_1 : Longueur finale



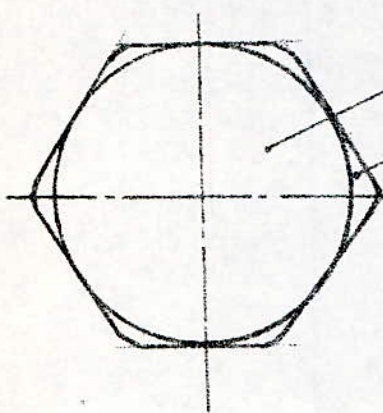
D'après les lois sur les déformations plastiques : $P = a\varphi^0$.

Cette loi est expérimentale, α et a sont déterminées par la fig. 1

$$\varphi = 0 \Rightarrow \alpha = P = k f_0$$

$$a \approx \frac{P - \alpha}{\varphi} = \frac{k f - k f_0}{\varphi} \quad \text{car } P \equiv k f.$$

Détermination de φ



$$\varphi = \ln\left(\frac{L_0}{L_1}\right)$$

Comme nous avons égalité des volumes

alors :

$$V_{\text{final}} = V_{\text{initial}}$$

$$S_f L_1 = S_i L_0$$

$$S_f = 6 \cdot \frac{a^2 \sqrt{2}}{4} = 3 a^2 \frac{\sqrt{2}}{2}$$

$$S_i = \pi \frac{a^2}{2}$$

$$\frac{L_0}{L_1} = \frac{S_f}{S_i} = \frac{3a^2 \sqrt{2}/2}{\pi a^2/2} = \frac{3\sqrt{2}}{\pi} \approx 1,35$$

$$\varphi = \ln(1,35) = 0,3 \Rightarrow k f = 650 \text{ MPa.}$$

Calcul de $f_1(\sigma)$ pour la pression intérieure variable

$$f_1'(\sigma) = - \left[k f_0 + \frac{a}{2} \ln(1,35) (1 - \cos 6\alpha) \right] w'(\sigma)$$

$$f_1(\sigma) = \int - \left[k f_0 + \frac{a}{2} \ln(1,35) (1 - \cos 6\alpha) \right] w'(\sigma) d\sigma$$

$$= - \left[k f_0 + \frac{a}{2} \ln(1,35) \right] w(\sigma) + \int \frac{a}{2} \ln(1,35) \cos(6\alpha) w'(\sigma) d\sigma$$

$$\cos 6\alpha = \frac{\sigma^6 + \bar{\sigma}^6}{|\sigma^6|} \quad \text{or } |\sigma| = p_1 \Rightarrow |\sigma|' = p_1^6$$

$$(\bar{\sigma})^6 = \left(\frac{p_1}{\sigma}\right)^6 = \frac{p_1^{12}}{\sigma^6}$$

$$\text{D'où } f_1(\sigma) = -\left[k\beta_0 + \frac{\alpha}{2} \ln(1,35) \right] \omega(\sigma) + I$$

$$I = \int \frac{\alpha}{2} \ln(1,35) \left(\frac{\sigma^6}{\beta_1^6} + \frac{\beta_1^4}{\sigma^6} \right) \omega'(\sigma) d\sigma$$

$$\omega'(\sigma) = \sum_{\nu=-\infty}^{\infty} \nu c_{\nu} \sigma^{\nu-1}$$

$$I = \int \frac{\alpha}{2} \ln(1,35) \sum_{\nu=-\infty}^{\infty} \left[\nu c_{\nu} \frac{\sigma^{\nu+5}}{\beta_1^6} + \nu c_{\nu} \sigma^{\nu-7} \beta_1^4 \right] d\sigma$$

$$I = \frac{\alpha}{2} \ln(1,35) \sum_{\nu=-\infty}^{\infty} \left[\nu c_{\nu} \frac{\sigma^{\nu+6}}{(\nu+6) \beta_1^6} + \nu c_{\nu} \frac{\sigma^{\nu-6}}{\nu-6} \beta_1^4 \right]$$

Opérons quelques changements de variables.

$$\sum_{\nu=-\infty}^{\infty} \nu c_{\nu} \frac{\sigma^{\nu+6}}{(\nu+6) \beta_1^6} = \sum_{k=-\infty}^{\infty} (k-6) c_{k-6} \frac{\sigma^k}{k \beta_1^6} \quad \text{avec } k = \nu+6$$

$$\sum_{\nu=-\infty}^{\infty} \nu c_{\nu} \frac{\sigma^{\nu-6}}{\nu-6} \beta_1^4 = \sum_{k=-\infty}^{\infty} (k+6) c_{k+6} \frac{\sigma^k}{k \beta_1^6} \beta_1^4 \quad \text{avec } k = \nu-6$$

$$I = \frac{\alpha}{2} \ln(1,35) \sum_{\nu=-\infty}^{\infty} \left[(\nu-6) c_{\nu-6} \frac{1}{\nu \beta_1^6} + (\nu+6) c_{\nu+6} \frac{\beta_1^4}{\nu} \right] \sigma^{\nu}$$

En remplaçant ceci dans $f_1(\sigma)$ avec $\omega(\sigma) = \sum_{\nu=-\infty}^{\infty} c_{\nu} \sigma^{\nu}$,

on tire

$$f_1(\sigma) = \sum_{\nu=-\infty}^{\infty} -\left(k\beta_0 + \frac{\alpha}{2} \ln(1,35) \right) c_{\nu} + \frac{\alpha}{2} \ln(1,35) (\nu-6) c_{\nu-6} \frac{1}{\nu \beta_1^6} +$$

$$\nu+6 c_{\nu+6} \frac{\beta_1^4}{\nu} \} \sigma^{\nu} = \sum_{k=-\infty}^{\infty} A_k \sigma^k \quad \text{d'où par identification:}$$

$$A_k = \bar{A}_k = -\left[k\beta_0 + \frac{\alpha}{2} \ln(1,35) \right] c_{\nu} + \frac{\alpha}{2} \ln(1,35) \left[(\nu-6) c_{\nu-6} \frac{1}{\nu \beta_1^6} + (\nu+6) c_{\nu+6} \frac{\beta_1^4}{\nu} \right].$$

ANNEXE III

PROGRAMME

Voici la liste des notations utilisées dans le programme :

Notation dans le texte	Not. dans le prog.	Remarque	
a	A0	Dimensions de la matrice	
r	R0		
R	R1		
R2	R2		
π	P1		
β	BE		
m	M		
l	L	Coord. des points matrice	
α	AL		
δ	GA		
P_1	RH1		
$x_i, y_i,$	XI, YI		Pts de la matrices hexagone cercle extérieur
x'_j, y'_j	XJ, YJ		
	ZXI, ZXI, ZXJ, ZYJ		Pts de la matrice calculés.
C_k	CK(I)		
C_{-k}	CMK(I)		
P_1	P1		Det. contraintes extérieures.

P_2 K_f K_{f0} S C_1, C_2, E_1, E_2 μ_1, μ_2	P_2 K_f K_{f0} S C_1, C_2, E_1, E_2 μ_1, μ_2	
$Re(w')$ $Im(w')$	$ROM(I)$ $IOH(J)$	Det des coef de Oméga dérivée
$Re \varphi'$ $Im \varphi'$ σ_0	$RFI(I)$ $IFI(I)$ $S(I)$	Calcul des contraintes


```

10 REM "KOL MUSK"
20 REM "*****"
30 REM "    CALCUL DE RESISTANCE DES MATRICES PRECONTRAINTES DU FILAGE
40 REM "    A FROID A CONTENEUR HEXAGONAL
50 REM "*****"
60 /
70 REM "Ce programme permet de determiner les contraintes de compression
80 REM "et de traction  $S_n$  et  $S_t$  et de cisaillement  $T$  produites par une
90 REM "pression  $P_1$  sur le contour interieur d'une matrice hexagonale,et
100 REM "subissant une precontrainte  $P_2$  sur le contour exterieur,en fonc-
110 REM "tion des dimensions de la matrice  $a, r$  et  $R$ .La methode utilisee
120 REM "est celle de MUSKHELISHVILI.
130 REM "
140 REM "On choisira une pression exterieur unitaire et constante sur le
150 REM "contour exterieur.
160 REM "La pression interieur sera d'abord prise constante,puis variable"
170 REM "Le nombre de points est choisi car le calcul se fait point par
180 REM "point.
190 /
210 REM "*****"
220 REM "    DIMENSIONS DE LA MATRICE
230 REM "*****"
240 INPUT "Cote de l'hexagone a=";A0
250 INPUT "Rayon de courbure des coins r=";R0
260 INPUT "Rayon exterieur de la matrice R=";R1
270 PI=3.14159265359#
280 BE=ATN(R0/2/(A0-R0*3^.5/6))
290 PRINT "BETA =" ;BE
300 MMIN=PI/3/BE+1
310 PRINT "Le nombre de points m doit etre superieur ou egal a";INT(MMIN)
320 INPUT "Nombre de points consideres m=";M
330 /
340 REM "*****"
350 REM "    COORDONNEES DES POINTS DE LA MATRICE (UN SEUL PAN)
360 REM "*****"
370 /
380 DIM XI(M),YI(M),XJ(M),YJ(M),CK(40),CMK(40)
390 L=A0-2*R0/3^.5
400 RA=L/R0
410 PRINT "L=";L;PRINT;PRINT
415 PRINT "*****"
420 PRINT TAB(5);"XI(I)";TAB(20);"YI(I)";TAB(35);"XJ(I)";TAB(50);"YJ(I)"
425 PRINT "*****"
427 PRINT
430 NUM=0
440 DEN=0
450 FOR I=1 TO M
460 AL=PI/3/(M-1)*(I-1)
470 IF AL>BE THEN 480 ELSE 520
480 IF AL<(PI/3-BE) THEN 490 ELSE 560
490 XI(I)=A0*3^.5/(TAN(AL)+3^.5)
500 YI(I)=XI(I)*TAN(AL)
500 YI(I)=XI(I)*TAN(AL)
510 GOTO 630
520 GA=ATN(RA*SIN(AL)/SQR(1-(RA*SIN(AL))^2))
530 XI(I)=R0*COS(AL)*(COS(GA)+RA*COS(AL))
540 YI(I)=R0*SIN(AL+GA)
550 GOTO 630
560 IF AL=PI/3 THEN 610 ELSE 570
570 GA=ATN(RA*SIN(PI/3-AL)/SQR(1-(RA*SIN(PI/3-AL))^2))
580 XI(I)=R0*(SIN(PI/3-AL)*COS(GA)+SIN(GA)*COS(PI/3-AL))*COS(AL)/SIN(PI/3-AL)
590 YI(I)=XI(I)*TAN(AL)
600 GOTO 630

```



```

600 GOTO 630
610 XI(I)=(L+R0)*COS(AL)
620 YI(I)=(L+R0)*SIN(AL)
630 XJ(I)=R1*COS(AL)
640 YJ(I)=R1*SIN(AL)
650 PRINT I;TAB(5);XI(I);TAB(20);YI(I);TAB(35);XJ(I);TAB(50);YJ(I)
660 /
670 REM "          RAYON DU CERCLE INTERIEUR DE L'ANNEAU          "
680 /
690 NUM=NUM+XI(I)*COS(PI*(2*I-1)/6/M)+YI(I)*SIN(PI*(2*I-1)/6/M)
700 DEN=DEN+XJ(I)*COS(PI*(2*I-1)/6/M)+YJ(I)*SIN(PI*(2*I-1)/6/M)
710 NEXT I
720 PRINT:PRINT:PRINT
730 RH1=NUM/DEN
740 PRINT "Rho=";NUM;"/";DEN;"=";RH1
750 PRINT:PRINT:PRINT
760 /
770 REM "*****"
780 REM "          COEFFICIENTS DE LA FONCTION DE TRANSFORMATION          "
790 REM "*****"
800 /
810 PRINT "CALCULS EN COURS:VEUILLEZ PATIENTER."
815 PRINT "*****"
820 PRINT TAB(20);"CK(J)";TAB(45);"CMK(J)"
825 PRINT "*****"
827 PRINT
830 FOR J=1 TO (6*M-2) STEP 3
840 IF J>28 THEN 1010 ELSE 850
850 S1=0:S2=0:S3=0:S4=0
860 FOR I=1 TO M
870 P1=COS(PI*J*(2*I-1)/6/M)
880 P2=SIN(PI*J*(2*I-1)/6/M)
890 S1=S1+XJ(I)*P1+YJ(I)*P2
900 S2=S2+XI(I)*P1+YI(I)*P2
910 P1=COS(PI*(J+1)*(2*I-1)/6/M)
920 P2=SIN(PI*(J+1)*(2*I-1)/6/M)
930 S3=S3+XI(I)*P1-YI(I)*P2
940 S4=S4+XJ(I)*P1-YJ(I)*P2
950 NEXT I
960 CK(J)=S1-S2*RH1^(6*M-J)
970 CK(J)=CK(J)/M/(1-RH1^(6*M))
980 CMK(J+1)=S3*RH1^(J+1)-S4*RH1^(6*M)
990 CMK(J+1)=CMK(J+1)/M/(1-RH1^(6*M))
1000 NEXT J
1000 NEXT J
1010 FOR H=1 TO 28 STEP 3
1020 PRINT H;TAB(15);CK(H);TAB(35);H+1;TAB(40);CMK(H+1)
1030 NEXT H
1040 PRINT:PRINT:PRINT
1050 /
1060 PRINT "*****"
1070 PRINT "          VERIFICATION DE LA FONCTION DE TRANSFORMATION          "
1080 PRINT "*****"
1090 PRINT
1100 PRINT TAB(7);"XI";TAB(22);"YI";TAB(37);"XJ";TAB(52);"YJ"

```



```

1100 PRINT TAB(7);"XI";TAB(22);"YI";TAB(37);"XJ";TAB(52);"YJ"
1110 PRINT
1120 FOR I=1 TO M
1130 AL=PI/3/(M-1)*(I-1)
1140 ZXI=0;ZYI=0;ZXJ=0;ZYJ=0
1150 FOR H=1 TO 13 STEP 5
1170 ZXI=ZXI+CK(H)*COS(H*AL)*RH1^H
1180 ZYI=ZYI+CK(H)*SIN(H*AL)*RH1^H
1190 ZXJ=ZXJ+CK(H)*COS(H*AL)
1200 ZYJ=ZYJ+CK(H)*SIN(H*AL)
1210 NEXT H
1220 ZXI=ZXI+CMK(5)*COS(5*AL)/RH1^5+CMK(11)*COS(11*AL)/RH1^11
1230 ZYI=ZYI-CMK(5)*SIN(5*AL)/RH1^5-CMK(11)*SIN(11*AL)/RH1^11
1240 ZXJ=ZXJ+CMK(5)*COS(5*AL)+CMK(11)*COS(11*AL)
1250 ZYJ=ZYJ-CMK(5)*SIN(5*AL)-CMK(11)*SIN(11*AL)
1260 PRINT I;TAB(5);ZXI;TAB(20);ZYI;TAB(35);ZXJ;TAB(50);ZYJ
1270 NEXT I
1280 PRINT:PRINT
1290 /
1300 REM "*****"
1310 REM "          DETERMINATION DE LA CONTRAINTE EXTERIEURE          "
1320 REM "*****"
1330 /
1340 PRINT "Trois modeles de contraintes exterieures:":PRINT:PRINT
1350 PRINT "DEFINITION: P1=Pression sur le contour interieur"
1360 PRINT "          P2=Pression sur le contour exterieur"
1370 PRINT
1380 PRINT "Cas 1=P1 constante;P2 nulle      (Cas 1)"
1390 PRINT "Cas 2=P1 constante;P2 constante (Cas 1)"
1400 PRINT "CAS 3=P1 variable;P2 constante (Cas 2)"
1410 PRINT:PRINT
1420 INPUT "Cas choisi=Cas";CAS
1430 PRINT:PRINT
1440 IF CAS=1 THEN 1440 ELSE 1460
1440 INPUT "QUELLE EST LA VALEUR DE LA PRESSION EXTERIEUR P1:P1=";P1
1450 GOTO 1520
1460 PRINT "La pression P1 variable varie suivant l'expression:"
1470 PRINT "P1=KF0+(KF-KF0)/LOG(1.35)*(1-COS(6*AL))"
1480 PRINT
1490 INPUT "QUELLE EST LA VALEUR DE KF ?";KF
1500 INPUT "QUELLE EST LE VALEUR DE KF0 ?";KF0
1510 A=(KF-KF0)/LOG(1.35)
1520 PRINT
1530 PRINT "DETERMINATION DE LA PRESSION EXTERIEURE P2 (ASSEM. FORCE)"
1540 PRINT
1550 INPUT "QUELLE EST LA VALEUR DU SERRAGE S ?";S
1560 IF S=0 THEN 1710
1570 PRINT
1580 PRINT "QUELLES SONT LES VALEURS DES COEFFICIENTS DE POISSON ?"
1590 INPUT "NU1=";NU1
1600 INPUT "NU2=";NU2
1610 PRINT
1620 PRINT "QUELLES SONT LES VALEURS DES MODULES D'ELASTICITE ?"
1630 INPUT "E1=";E1
1640 INPUT "E2=";E2
1650 PRINT
1660 INPUT "QUELLE EST LA VALEUR DU RAYON EXTERIEUR DE LA FRETTE ?";R2
1670 C1=(R1^2+R0^2)/(R1^2-R0^2)-NU1
1680 C2=(R2^2+R1^2)/(R2^2-R1^2)+NU2
1690 P2=S*.001/(2*R1)/(C1/E1+C2/E2)
1700 GOTO 1720

```



```

1700 GOTO 1720
1710 P2=0
1720 PRINT:PRINT
1730 PRINT "*****"
1740 PRINT "LA PRESSION P2 SUR LE CONTOUR EXTERIEUR EST EGALE A:";P2
1750 PRINT "*****"
1760 PRINT:PRINT
1770 PRINT "CALCULS EN COURS:VEUILLEZ PATIENTER."
1780 /
1790 REM "*****"
1800 REM " DETERMINATION DES COEFFICIENTS ak DE LA FONCTION POTENTIEL
1810 REM "*****"
1820 N=7
1830 DIM A(N,N),F(N)
1840 FOR I=1 TO N
1850 FOR J=1 TO N
1860 A(I,J)=0
1870 NEXT J
1880 F(I)=0
1890 NEXT I
1900 FOR V=-9 TO 9 STEP 3
1910 S1=0
1920 FOR K=-8 TO 10 STEP 3
1930 I=4+V/3:J=4+(K-1)/3
1940 S=V+K :D=K-V
1950 IF S<0 THEN C=CMK(ABS(S))
1960 IF S>0 THEN C=CK(S)
1970 IF D<0 THEN F=CMK(ABS(D))
1980 IF D>0 THEN F=CK(D)
1990 IF S>10 THEN C=0
2000 IF S<-8 THEN C=0
2000 IF S<-8 THEN C=0
2010 IF D>10 THEN F=0
2020 IF D<-8 THEN F=0
2030 A(I,J)=(1-RH1^(2*K))*S*C+(1-RH1^(2*D))*K*F
2040 G=V-K
2045 IF K<0 THEN C=CMK(ABS(K))
2048 IF K>0 THEN C=CK(K)
2050 IF G>0 THEN H=CMK(G)
2060 IF G<0 THEN H=CK(ABS(G))
2070 IF G>10 THEN H=0
2080 IF G<-8 THEN H=0
2090 IF CAS=1 THEN 2100 ELSE 2130
2100 BK=-P2*H
2110 AK=-P1*H
2120 GOTO 2250
2130 L1=V-K-6:L2=V-K+6
2140 IF L1>0 THEN Q1=CMK(L1)
2150 IF L1<0 THEN Q1=CK(ABS(L1))
2160 IF L1<-8 THEN Q1=0
2170 IF L1>10 THEN Q1=0
2180 IF L2>0 THEN Q2=CMK(L2)
2190 IF L2<0 THEN Q2=CK(ABS(L2))
2200 IF L2<-8 THEN Q2=0

```



```

2230
2240 AK=-((KF0+A*LG)*H-A*LG*RH1*L2*Q2/G+A*LG*L1*Q1/RH1/G
2250 S1=S1+(BK-AK*RH1^2)*C*K
2260 NEXT K
2270 F(I)=S1
2280 NEXT V
2290 PRINT:PRINT
2300 GOSUB 5500
2310 /
2320 REM "*****"
2330 REM "      DETERMINATION DES COEFFICIENTS DE OMEGA (DERIVEE)
2340 REM"*****"
2350 DIM ROM(M),IOM(M)
2360 FOR I=1 TO M
2370 AL=PI/3/(M-1)*(I-1)
2380 S1=0:S2=0
2390 FOR K=-8 TO 10 STEP 3
2400 IF K<0 THEN R=CMK(ABS(K)) ELSE R=CK(K)
2410 S1=S1+K*R*COS((K-1)*AL)*RH1^(K-1)
2420 S2=S2+K*R*SIN((K-1)*AL)*RH1^(K-1)
2430 NEXT K
2440 ROM(I)=S1:IOM(I)=S2
2450 NEXT I
2460 IF CAS=1 THEN 2470 ELSE 2530
2470 /
2480 DIM P1(M)
2490 FOR I=1 TO M
2500 P1(I)=P1
2510 NEXT I
2520 GOTO 2640
2530 DIM P1(M)
2540 FOR I=1 TO M
2550 AL=PI/3/(M-1)*(I-1)
2560 P1(I)=(KF0+A*LG*(1-COS(6*AL)))/2
2570 NEXT I
2590 /
2600 REM "*****"
2610 REM "      CALCUL DES CONTRAINTES
2620 REM "*****"
2630 /
2640 DIM S(M),RFI(M),IFI(M)
2650 PRINT:PRINT
2660 PRINT TAB(15);"-----"
2670 PRINT TAB(15);"* SIGMA *"
2680 PRINT TAB(15);"-----"
2690 FOR I=1 TO M
2700 AL=PI/3/(M-1)*(I-1)
2710 S1=0:S2=0
2720 FOR K=-2 TO 10 STEP 3
2730 J=4+(K-1)/3
2740 L=K-1
2750 S1=S1+K*E(J)*RH1^L*COS(L*AL)
2760 S2=S2+K*E(J)*RH1^L*SIN(L*AL)
2770 NEXT K
2780 RFI(I)=ABS(S1)
2790 IFI(I)=S2
2800 K1=ROM(I)^2+IOM(I)^2
2810 S(I)=4*(RFI(I)*ROM(I)-IFI(I)*IOM(I))/K1+P1(I)
2820 PRINT I;TAB(15);S(I)
2830 NEXT I
2840 GOTO 8000
8000 END

```

```

5500 REM "*****"
5510 REM "          RESOLUTION DU SYSTEME AX=B"
5520 REM "*****"
5540 DIM G(N)
5550 FOR H=1 TO N-1
5555 FOR I=H+1 TO N-1
5560 IF A(H,H)<>0 THEN 5710
5570 PRINT "PIVOT A(";H;",";H;)EST NUL"
5580 FOR L=H+1 TO N-1
5590 IF A(L,H)<>0 THEN 5620
5610 NEXT L
5611 GOTO 5620
5615 IF A(N,H)=0 THEN 5617 ELSE 5620
5617 PRINT "SYSTEME ILLEGAL:RESULTATS ERRONES"
5618 GOTO 8000
5620 PRINT "SYSTEME IRREGULIER"
5630 PRINT " PERMUTATION DE LA LIGNE ";H;"AVEC LA LIGNE ";L
5640 FOR W=1 TO N
5650 G(W)=A(L,W)
5660 A(L,W)=A(H,W)
5670 A(H,W)=G(W)
5680 NEXT W
5690 Q=F(L)
5700 F(L)=F(H)
5705 F(H)=Q
5710 FOR J=H TO N
5720 A(I,J)=A(I,J)-A(I,H)/A(H,H)*A(H,J)
5730 NEXT J
5740 F(I)=F(I)-A(I,H)/A(H,H)*F(H)
5750 NEXT I
5760 NEXT H
5770 PRINT "CALCUL DU DETERMINANT=PRODUIT DES PIVOTS"
5780 D=1
5790 FOR I=1 TO N
5800 D=D*A(I,I)
5810 NEXT I
5820 PRINT "DET:D=";D
5830 PRINT " VOICI LES SOLUTION DE AX=B"
5840 DIM E(N)
5850 E(N)=F(N)/A(N,N)
5860 FOR I=N-1 TO 1 STEP -1
5870 S=0
5880 FOR K=N TO I+1 STEP -1
5890 S=S+A(I,K)*E(K)
5900 NEXT K
5910 E(I)=(F(I)-S)/A(I,I)
5920 NEXT I
5930 FOR J=1 TO N
5940 PRINT "E(";J;")= ";E(J)
5950 NEXT J
5960 RETURN

```


BIBLIOGRAPHIE

- [1] N.I. MUSKHELISHVILI "Some basic problems of the mathematical theory of elasticity ; Fondamental équations, plane theory of elasticity, torsion and bending." Ltd Groningen Nordhoff.
- [2] Dr FRANÇOIS et L. JOLY "La rupture des métaux"
Ecole d'été de la colle sur loup Sept. 70
- [3] A. DONEDU "Mathématiques supérieures et spéciales mp_1, mp_2 - Compléments d'analyse T.4. Ed Dunod Paris.
- [4] V. SMIRNOV "Cours de Math. Sup." T III
Edition MIR Moscou 1972
- [5] A.G. UGODSCIKOV et A.E. SZTYEPANOV : "Résolution des problèmes de l'élasticité plane sur ordinateur analogique et digital" Moscou 70
Traduit en hongrois par ELter Pálné Budapest 1978.
- [7] Projet de fin d'études = Calcul de résistance d'une matrice du filage à froid à conteneur hexagonal." étudié par S.ZEBDI
proposé et dirigé par A.ELEOD Promotion Juin 1985 EN.P.A.

